#### RDG4530030

การสำรวจรอยเลื่อนมีพลัง (active Fault ) ในเขตพื้นที่จังหวัดลำปาง-แพร่

ปัญญา จารุศิริ <sup>1, 3</sup>, วิโรจน์ ดาวฤกษ์ <sup>1</sup>, มนตรี ชูวงษ์ <sup>1</sup>, นภดล ม่วงน้อยเจริญ <sup>1</sup>, กฤษณ์ วันอินทร์ <sup>1</sup>, อภิชาติ ลำจวน <sup>2</sup>, สุวิทย์ โคสุวรรณ <sup>2</sup>, ปรีชา สายทอง <sup>2</sup>, ปิยธิดา โทนรัตน์ <sup>2</sup> <sup>1</sup> คณะวิทยาศาสตร์ จุฬาลงกรณ์มหาวิทยาลัย, <sup>2</sup> กรมทรัพยากรธรณี,

<sup>3</sup> cpunya@chula.ac.th

กันยายน 2545 – กันยายน 2547

#### บทคัดย่อ

การศึกษารอยเลื่อนมีพลัง (ปีที่ 1) ในเขตพื้นที่จังหวัดลำปาง-แพร่ ทางภาคเหนือของประเทศไทย มี วัตถุประสงค์เพื่อทราบตำแหน่งและลักษณะของกลุ่มรอยเลื่อนมีพลังในเขตพื้นที่จังหวัดลำปาง-แพร่ รวมทั้ง ขนาดของแผ่นดินไหวใหญ่ที่เกิดขึ้นในอดีตจากการเคลื่อนตัวของกลุ่มรอยเลื่อนเถินและกลุ่มรอยเลื่อนแพร่ และอัตราเฉลี่ยของการเคลื่อนตัวของกลุ่มรอยเลื่อนเหล่านี้

การศึกษาวิจัยครั้งนี้ได้อาศัยข้อมูลจากการแปลความหมายทางโทรสัมผัส ผนวกกับการวิเคราะห์ ข้อมูลเชิงเอกสาร และข้อมูลศูนย์กลางแผ่นดินไหว เพื่อกำหนดแนวรอยเลื่อนมีพลังตลอดจนทิศทางการ วางตัว และทิศการเคลื่อนตัวของรอยเลื่อน หลังจากนั้น ได้ออกทำการสำรวจภาคสนามเพื่อตรวจสอบหลักฐาน ทางภูมิประเทศและได้กำหนดพื้นที่ขุดร่องสำรวจ จำนวน 6 ร่อง เพื่อหาทิศทางการวางตัวของระนาบรอย เลื่อนมีพลัง และได้เก็บตัวอย่างตะกอนที่สัมพันธ์กับรอยเลื่อนเพื่อหาอายุของการเลื่อนตัวครั้งสุดท้าย ตลอดจนอัตราการเลื่อนตัวต่อปีของรอยเลื่อน

ผลการศึกษาวิจัย พบว่า กลุ่มรอยเลื่อนในเขตพื้นที่จังหวัดลำปางและจังหวัดแพร่วางตัวในแนว ตะวันออกเฉียงเหนือ-ตะวันตกเฉียงใต้และสามารถจัดแบ่งรอยเลื่อนในพื้นที่จังหวัดลำปาง ออกเป็น 4 รอย เลื่อนย่อย ได้แก่ 1.รอยเลื่อนเถิน 2.รอยเลื่อนสบปราบ 3.รอยเลื่อนบ้านมาน และ 4.รอยเลื่อนต้นงุ้น ส่วน กลุ่มรอยเลื่อนที่สำคัญของจังหวัดแพร่ประกอบด้วยรอยเลื่อนทั้งแถบตะวันตกและแถบตะวันออกที่ขนานทั้ง สองข้างของแอ่งแพร่ ซึ่งในการศึกษานี้ได้เน้นเฉพาะรอยเลื่อนแม่มานทางทิศตะวันออก โดยเราได้แบ่งรอย เลื่อนออกเป็น 3 รอยเลื่อนย่อย คือ (1) รอยเลื่อนบ้านทุ่งเจริญ (2) รอยเลื่อนบ้านแก้ว และ (3) รอยเลื่อน บ้านป่าแดง โดยทั้งสองกลุ่มรอยเลื่อนพบลักษณะธรณีสัณฐานที่สำคัญ ได้แก่ ผาสามเหลี่ยม ผารอยเลื่อน ลำธารหักงอ และสันปิดกั้นทางน้ำ

จากการศึกษาวิจัยอายุตะกอนที่สัมพันธ์กับรอยเลื่อนจำนวน 30 ตัวอย่าง โดยวิธีการเรื่องแสงความ ร้อน(TL-dating) และหาอายุอินทรียวัตถุ(C-14 AMS) จำนวน 4 ตัวอย่าง พบว่าได้เคยมีแผ่นดินไหวใหญ่ใน อดีตทั้งในเขตพื้นที่จังหวัดลำปางขนาดความรุนแรงได้ประมาณ 7 ริกเตอร์ และได้เคยเกิดแผ่นดินไหวขึ้น ครั้งหลังสุดอย่างน้อย 3 ครั้ง คือ เมื่อประมาณ 4,000 ปี(รอยเลื่อนบ้านมาย) 3,000 ปี(รอยเลื่อนตันงุ้น) และ 2,000 ปี(รอยเลื่อนสบปราบ) มีอัตราการเคลื่อนตัวโดยเฉลี่ยประมาณ 0.15 ถึง 0.83 มมต่อปี ส่วนในเขต พื้นที่จังหวัดแพร่ด้านทิศตะวันออก พบว่าได้เคยเกิดแผ่นดินไหวใหญ่ในอดีตเมื่อประมาณ 1 ล้านปี และ

ประมาณ 5 หมื่นปีมาแล้ว(รอยเลื่อนแม่มาน) เปรียบเทียบขนาดความรุนแรงได้ประมาณ 7 ริกเตอร์ มีอัตรา การเคลื่อนตัวโดยเฉลี่ยประมาณ 0.06 มมต่อปี

อนึ่งจากการวิเคราะห์เชิงพื้นที่ในเขตชุมชนที่อยู่ในระยะรอยเลื่อน พบว่าพื้นที่สำคัญได้แก่ อำเภอ เถิน อำเภอ สบปราบ อำเภอแม่ทะ และอำเภอลอง ในจังหวัดลำปาง และอำเภอสูงเม่น อำเภอเด่นชัย อำเภอวัง ชิ้น และอำเภอเมืองในจังหวัดแพร่ อาจได้รับอันตรายจากแผ่นดินไหวได้ในอนาคต

คำหลัก : จังหวัดลำปาง-แพร่, กลุ่มรอยเลื่อนเถิน, กลุ่มรอยเลื่อนแพร่, การหาอายุด้วยวิธีการเรื่องแสงความ ร้อน (TL dating), การหาอายุอินทรียวัตถุ (C-14 AMS), ลักษณะธรณีสัณฐาน, แผ่นดินไหวในอดีต

#### RDG4530030

The study on the investigations of active faults in Changwat Lampang-Phrae area, northern

Thailand

Punya Charusiri <sup>1,3</sup>, Veerote Daorerk <sup>1</sup>, Montri Choowoing <sup>1</sup>, Nopadon Muangnoicharoen <sup>1</sup>, Krit Won-in <sup>1</sup>, Apichard Lumjuan, Suwith Kosuwan <sup>2</sup>, Preecha Saithong <sup>2</sup>, and Piyathida Thonnarat

<sup>1</sup>Faculty of Science, Chulalongkorn University <sup>2</sup>Department of Mineral Resources <sup>2</sup>

<sup>3</sup> email:cpunya@chula.ac.th September 2002 - September 2004

#### **Abstract**

This research is focused on the invasion of active faults in Lampang-Phrae area, northern Thailand in the first year. The main objective determine the active fault segments particularly their orientation and movement history. The research study includes four steps of methodology, viz. (a) data compilation and remote-sensing and interpretations, (b) field investigation, (c) data interpretation and dating investigation, and (d) discussion and conclusion.

Results from integrated data indicate that the Thoen-Phrae fault zone in the studied region is the southeast-northwest trending fault zone with oblique-slip movement. In Lampang, 4 fault segments are recognized, (1) Thoen segment (2) Sop Prap segment (3) Ban Mai segment and (4) Ton Ngun segment. In Phrae two fault zones bound. The Cenozoic basin, and only the eastern part of fault system in the Phrae basin is well-studied and is herein called the Mae Man fault. The fault is subdivided into 3 segments, 1) Thung Charoen segment, (2) Ban Kwang segment, and (3) Ban Pa Daeng segment. The studied fault orients in the north-northwest trend and is about 20 km long. Evidence of tectonic geomorphology along the fault zone includes shutter ridges, triangular facets and offset stream channels with field evidence of normal faulting along the minor faults, along with focal mechanism data, indicate a lateral movement in a sinistral sense with small amount of a vertically normal sense component.

Results on thermoluminescence dating of fault-related sediments and C-14 AMS dating for charcoals from trench and quarry sites in the study area indicate several large paleoearthquakes with an average magnitude (Mw) of 7. In Lampang three paleoearthquakes were identified during 4,000 years (Ban Mai segment), 3,000 years (Ton Ngun segment) and 2,000 years (Sop Prap segment) with a range of maximum slip rates about 0.15-0.83 mm/yr. Along the Mae Man fault in the eastern of Phrae basin both two paleoearthquakes, during 1.1 Ma and 0.05 Ma. The maximum

slip rate is estimated about 0.06 mm/yr. These lines of evidence together with the analysis on contemporaneous stress orientation indicate that the tectonic stress of extensional and compressional axes have performed continuously in the E-W and N-S trends, respectively since Quaternary to present-day times.

Our results with the GIS application reveal that there are 7 densely populated district areas which are seismically risked, including Wangchin, Thoen, Sop Prap, Long Muang Phrae, Sung Men, and Denchai district areas. Therefore, we infer that among the most densely populated areas, Long (Phrae) and Sop Prap(Lampang) districts are regarded the more risk areas for fault-induced earthquakes.

KEYWORDS: Active faults, Lampang, Phrae, northern Thailand thermoluminescence dating, C-14 AMS dating, Pleoearthquake, neotectonics

#### กิตติกรรมประกาศ

การวิจัยครั้งนี้ได้รับทุนสนับสนุนจาก สำนักงานกองทุนสนับสนุนการวิจัย (สกว.) สัญญาเลขที่ RDG 4530030 คณะผู้วิจัยต้องขอบอุณมา ณ โอกาสนี้ด้วย

ขอขอบคุณ ศาสตราจารย์ คร. Isao Takashima จากมหาวิทยาลัย Akita ประเทศญี่ปุ่น ที่ได้ให้คำปรึกษา ค้านการหาอายุตะกอนคินและตลอดจนให้ความอนุเคราะห์เครื่องมือ Thermoluminecence ในการหาอายุค้วยวิธี เรื่องแสงความร้อน และ รองศาสตราจารย์ คร.Brady Rhodes จากมหาวิทยาลัย California State ประเทศ สหรัฐอเมริกา ให้คำแนะนำในการเก็บข้อมูลภาคสนาม ตลอดจนแลกเปลี่ยนความรู้ ความคิดเห็นในการศึกษา วิจัยในครั้งนี้

ขอขอบคุณ อธิบดีกรมทรัพยากรธรณี, อธิการบดีจุฬาลงกรณ์มหาวิทยาลัย, รองอธิการบดีฝ่ายวิจัย, คณบดีคณะวิทยาศาสตร์, รองคณบดีฝ่ายวิจัย และหัวหน้าภาควิชาธรณีวิทยา ที่ให้การสนับสนุนบุคลากรทำงาน วิจัยในครั้งนี้ ขอขอบคุณคณาจารย์ ภาควิชาธรณีวิทยา ทุกท่านที่ให้การสนับสนุน คำแนะนำ ตลอดจนคำปรึกษา ในเรื่องต่างๆ และนิสิตทุกท่าน ที่ช่วยในการเก็บข้อมูลภาคสนามด้วยดีตลอดมา

ขอขอบคุณ นางสาววิยะคา ละมุล, นางสาวจีระภา โหมฮึก, นางสาวเสาวรส ชินวร, นางสาวพรทิพา จัตุรงค์ธาริณี, นางสาวพันธ์ทิพา โห้ใย และนายสุริยะ โชคเหมาะ ที่ช่วยคูแลงานค้านการจัดพิมพ์รายงาน คูแล งบประมาณ ตลอดจนอำนวยความสะควกในค้านต่างๆ ด้วยคีตลอคมา

#### คำนำ

รายงานฉบับนี้เป็นส่วนหนึ่งของโครงการลดภัยพิบัติจากแผ่นดินใหวในประเทศไทย (ระยะที่ 1) โดยมี รองศาสตราจารย์ คร.เป็นหนึ่ง วานิชชัย เป็นหัวหน้าโครงการ ซึ่งประกอบไปด้วย 5โครงการย่อย คือ โครงการ ย่อยที่ 1 การสำรวจรอยเลื่อนมีพลังในเขตพื้นที่จังหวัดกาญจนบุรีและลำปางแพร่ โครงการย่อยที่ 2 การสร้าง ฐานข้อมูลการเกิดแผ่นดินใหวที่บันทึกได้ด้วยเครือข่ายสถานีวัด โครงการย่อยที่ 3 การตรวจวัดและศึกษา กุณสมบัติเชิงพลศาสตร์ (Dynamic Properties) ของอาการสูงในกรุงเทพมหานคร โครงการย่อยที่ 4 การประเมิน ระดับความด้านทานแผ่นดินใหวของอาการในกรุงเทพมหานครและศึกษาวิธีการปรับปรุงอาการที่อ่อนแอให้มี ความด้านทานแผ่นดินใหวในระดับที่เหมาะสม และโครงการย่อยที่ 5 การศึกษาการเพิ่มความรุนแรงของ แผ่นดินใหวเนื่องมาจากสภาพดิน (Soil Amplification) ในบริเวณกรุงเทพมหานครและจังหวัดเชียงราย โดย โครงการเริ่มตั้งแต่ วันที่ 1 กันยายน พ.ศ. 2545 ถึง วันที่ 31 สิงหาคม พ.ศ. 2547 รวมระยะเวลาทำการศึกษาวิจัยดัง ปรากฏในรายงานฉบับสมบูรณ์ (เล่ม 1) ส่วนรายงานฉบับสมบูรณ์ (เล่ม 2) เป็นผลการศึกษาวิจัยปีที่ 2 พื้นที่ จังหวัดกาญจนบุรี

อนึ่ง ผลการศึกษาวิจัยในครั้งนี้เป็นผลสรุปเพียงเบื้องต้น ยังไม่ครอบคลุมรอยเลื่อนย่อยต่างๆ ได้ทั้งหมด ดังนั้น จึงจำเป็นต้องทำการศึกษาวิจัยแต่ละรอยเลื่อนย่อยอย่างละเอียด เพื่อการประเมินคาบการเกิดแผ่นดินไหว ได้ถูกต้องแม่นยำยิ่งขึ้นไป แต่อย่างไรก็ตาม คณะผู้วิจัยหวังเป็นอย่างยิ่งว่าการศึกษาวิจัยในครั้งนี้จะเป็นแนวทาง ในการสำรวจธรณีวิทยาแผ่นดินไหวในประเทศไทยให้ครอบคลุมทุกกลุ่มรอยเลื่อนของประเทศไทยต่อไป

# สารบัญ

		หน้า
บทสรุปโครงการ		ก
บทคัดย่อ (ภาษาไทย)		ณ
บทคัดย่อ (ภาษาอังกฤษ)		ฎ
กิตติกรรมประกาศ		ົ້າ ຈື
คำนำ		d <b>U</b>
สารบัญ		ฒ
สารบัญรูป		ฅ
สารบัญตาราง		N
บทที่ 1 บทนำ		1
1.1 ความสำคัญและที่มาขอ	งปัญหาที่ทำการวิจัย	1
1.2 วัตถุประสงค์ของโครงก	าาร	7
1.3 พื้นที่ศึกษา		8
1.4 ระเบียบวิธีและขอบเขต	ของการวิจัย	8
1.5 แผนการดำเนินงานตลอ	ดโครงการ (ในปีแรก)	11
1.6 ประโยชน์ที่คาดว่าจะใต้	าร์บ -	12
บทที่ 2 การวิเคราะห์แนวรอยเลื่อนมี	มีพลังค <i>้</i> วยภาพจากคาวเทียม	13
2.1 บทน้ำ		13
2.2 วัตถุประสงค์		13
2.3 ข้อมูล		13
2.4 ขั้นตอนการวิเคราะห์		13
2.5 ผลการศึกษาแนวเส้นโค	ารงสร้าง	14
บทที่ 3 แนวคิดธรณีสัณฐานเชิงแปร	สัณฐาน(Tectonic Geomorphology)	29
3.1 บทน้ำ		29
3.2 แนวคิดด้านธรณีสัณฐาง	и	30
3.3 วิวัฒนาการภูมิทัศน์(La	ndscape Evolution)	30
3.4 ธรณีสันฐานกับการแปร		31
3.5 ลักษณะภูมิลักษณ์ที่ปรา	เกฎในพื้นที่รอยเลื่อนเถิน	32
3.6 การตรวจวัคธรณีสัณฐา	น(Morphometry)	32

		หน้า
	<ol> <li>แนวทางการวิเคราะห์ความมีพลังเชิงธรณีสัณฐานดัชนีความลาดยาวทางน้ำ</li> </ol>	33
	(Stream Length Gradient Index)	
	3.8 คัชนีความคดโค้งเชิงเขา(Mountain front sinuosity)	36
	3.9 คัชนีความคดโค้งเชิงเขาของกลุ่มรอยเลื่อนลำปาง-แพร่	37
	3.10 ลำคับความมีพลังของกลุ่มรอยเลื่อนเถิน	37
บทที่ 4	ธรณีวิทยาทั่วไปของกลุ่มรอยเลื่อนลำปาง-แพร่	41
	4.1 บทน้ำ	41
	4.2 ธรณีวิทยารอยเลื่อนแม่มาน	41
	4.3 ธรณีวิทยาของรอยเลื่อนแพร่	44
	4.4 ธรณีวิทยาของรอยเลื่อนลอง	44
	4.5 ธรณีวิทยาของรอยเลื่อนวังชิ้น	44
	4.6 ธรณีวิทยาของรอยเลื่อนบ้านมาย	45
	4.7 ธรณีวิทยาของรอยเลื่อนต้นงุ้น	46
	4.8 ธรณีวิทยาของรอยเลื่อนสบปราบ	46
	4.9 ธรณีวิทยาของรอยเลื่อนลำปาง-แพร่	47
บทที่ 5	การวัดหาอายุของชั้นตะกอนดินด้วยวิธีการเรื่องแสงด้วยความร้อน	49
	5.1 บทน้ำ	49
	5.2 หลักการของการเรื่องแสงความร้อน(TL)กับการหาอายุชั้นตะกอนดิน	49
	5.3 เครื่องมือวัดการเรื่องแสงความร้อน	54
	5.4 การเก็บและคัดเลือกตัวอย่างดินตะกอน	55
	5.5 การเตรียมตัวอย่างตะกอนและการหาค่า Glow curve จากตัวอย่าง	57
	5.6 ลักษณะสัญญาณการเรื่องแสงความร้อนของเม็ดแร่ในตะกอนดิน	61
	5.7 การประเมินค่าความเข้มการเรื่องแสงทั้งหมด(Paleodose)ในชั้นตะกอนดิน	62
	5.8 ข้อจำกัดในการหาช่วงอายุของชั้นตะกอน	65
	5.9 ความถูกต้องแม่นยำของการหาอายุตะกอนด้วยวิธีการเรื่องแสงด้วยความร้อน	65
	5.10 ผลการหาอายุชั้นดินด้วยวิธีเรื่องแสงความร้อน(TL-dating results)	66
	5.11 กลุ่มรอยเลื่อนลำปาง-เถิน	68
	5.11.1 รอยเลื่อนบ้านมาย	69
	5.11.2 รอยเลื่อนต้นงุ้น	73
		หน้า

	5.11.3 รอยเลื่อนสบปราบ	81
	5.11.4 รอยเลื่อนลอง	85
	5.11.5 รอยเลื่อนแม่มาน	89
	5.11.6 รอยเลื่อนแพร่	102
บทที่ 6	แผนที่การกระจายตัวของชุมชนและรอยเลื่อนมีพลัง	105
	6.1 คำนำ	105
	6.2 วัตถุประสงค์และเป้าหมาย	105
	6.3 พื้นที่ศึกษา	105
	6.4 ขั้นตอนการคำเนินงาน	105
	6.5 หลักการแปลความหมายข้อมูลภาพจากดาวเทียม	107
	6.5.1 หลักการเบื้องต้นของข้อมูลภาพจากคาวเทียม	107
	6.5.2 ขั้นตอนการแปลความหมายข้อมูลจากข้อมูลภาพถ่ายดาวเทียม	107
	6.5.3 หลักการแปลและวิเคราะห์ข้อมูลจากข้อมูลภาพดาวเทียม	108
	6.6 การกระจายตัวของชุมชนจากข้อมูลภาพดาวเทียม	114
	6.6.1 ขั้นตอนการคำเนินงาน	114
	6.7 สรุปและเสนอแนะ	122
บทที่ 7	การอภิปรายผลและสรุป	130
	7.1 ลักษณะปรากฏของการแปรสัณฐานยุคใหม่(Neotectonic features)	130
	7.2 สนามแรงเครียดแปรสัณฐาน(Tectonic stress field)	131
	7.3 จำนวนเหตุการณ์แผ่นดินใหวในอดีต(Earthquake event reconstruction)	133
	7.4 ลักษณะเฉพาะของรอยเลื่อนมีพลัง(Characteristic of active fault)	133
	7.4 สรุปผล	135
เอกสารอื่	ว้างอิง	137
ภาคผนว	ก	141

## สารบัญรูป

หน้า แผนที่ประเทศไทยแสดงพื้นที่ศึกษาในเขตพื้นที่ จ.ลำปาง-แพร่(กรอบ A ในปีที่ 1) ฐป 1.1 9 และจังหวัดกาญจนบุรี(กรอบ B ในปีที่ 2) แผนที่ทางหลวงแสดงขอบเขตของพื้นที่ศึกษาลำปาง-แพร่และลักษณะภูมิประเทศ ฐป 1.2 10 ภาพจากดาวเทียม Landsat 5 แสดงพื้นที่ศึกษาแนวรอยเลื่อนหลัก และรอยเลื่อน ฐป 2.1ก 16 และพื้นที่วิเคราะห์แนวเส้น(lineament)ใน ย่อยในพื้นที่ศึกษาจังหวัดลำปาง รายละเอียด(ในกรอบสี่เหลี่ยม) แบบจำลองแอ่งแพร่และพื้นที่ข้างเคียงที่มีความสัมพันธ์กับรอยเลื่อนตามแนวระดับ ฐป 2.1ข 17 ของกลุ่มรอยเลื่อนเถิน-แพร่(จาก Srisuwan และคณะ, 2000) ผลการตีความข้อมูลการสำรวจคลื่นใหวสะเทือนบริเวณส่วนใต้ของแอ่งแพร่โดย ฐป 2.1ค 18 พบรอยเลื่อนบริเวณขอบแอ่งทั้งสองข้างและมีกลุ่มรอยเลื่อนบริเวณกลางแอ่งปก คลุมโดยตะกอนอายุควอเทอร์นารี ภาพจากคาวเทียม Landsat 5 TM (ซ้าย) แสคงแนวเส้นจากการแปลภาพ (ขวา) ใน ฐป 2.2 19 พื้นที่แนวรอยเลื่อนย่อยเถิน(Theon fault segment) และวงกลม แสดงพื้นที่ศึกษาที่ จะเกิดแนวรอยเลื่อนมีพลัง(active fault) Rosette diagram แสดงทิศการวางตัว(strike)ของแนวเส้นในบริเวณแนวรอยเลื่อน ฐป 2.3 20 ย่อยเถิน(Theon fault segment) ภาพจากคาวเทียม Landsat TM 5 (บน) แสคงแนวเส้นจากการแปลภาพ (ล่าง) ใน ฐป 2.4 21 พื้นที่แนวรอยเลื่อนย่อยสบปราบ (Sop Prab segment) สี่เหลี่ยมและวงกลมแสดง พื้นที่ศึกษาที่อาจเกิดแนวรอยเลื่อนมีพลัง (active fault) ที่ตัดผ่านตะกอนยุคควอร์ เทอร์นารี Rosette diagram แสดงทิศทางการวางตัว (strike) ของแนวเส้นในบริเวณแนวรอย ฐป 2.5 22 เลือนย่อยสบปราบ(Sop prab fault segment) ภาพดาวเทียม Landsat TM 5 (บน) แสดงแนวเส้นจากการแปลภาพ (ล่าง) ในพื้นที่ ฐป 2.6 23 แนวรอยเลื่อนย่อยต้นงุ้น (Ton Ngon fault segment) และวงกลมแสดงพื้นที่ศึกษาที่ จะเกิดแนวรอยเลื่อนมีพลัง(active fault) ที่ตัดผ่านตะกอนยุคควอร์เทอร์นารี Rosette diagram แสดงทิศทางการวางตัว (strike) ของแนวเส้นในบริเวณแนวรอย ฐป 2.7 24 เลื่อนย่อยต้นงุ้น (Ton Ngon fault segment)

		หน้า
รูป 2.8	ภาพคาวเทียม Landsat TM 5 (บน) แสคงแนวเส้นจากการแปลภาพ (ล่าง) ในพื้นที่ แนวรอยเลื่อนย่อยบ้านมาย (Ban Mai fault segment) และวงกลมแสคงพื้นที่ศึกษา ที่จะเกิดแนวรอยเลื่อนมีพลัง (active fault) ที่ตัดผ่านตะกอนยุคควอร์เทอร์นารี	25
รูป 2.9	Rosette diagram แสดงทิศทางการวางตัว (strike) ของแนวเส้น ในบริเวณแนวรอย เลื่อนย่อยบ้านมาย (Ban Mai fault segment)	26
รูป 2.10	ภาพตัดขวาง และแบบจำลองแสดงความสัมพันธ์ระหวางธรณีสัณฐานกับรูปแบบ การสะสมตัวของตะกอนควอเทอร์นารี และแนวรอยเลื่อนในพื้นที่ต่างๆ จากการ วิเคราะห์และแปลภาพดาวเทียม Landsat TM 5 แบนด์ 4 5 และ 7	27
ฐป 3.1	การหาค่าดัชนีความลาดยาวทางน้ำในพื้นที่รองรับน้ำ(catchment area)	34
รูป 3.2	แผนที่แสดงดัชนีความลาดยาวทางน้ำของกลุ่มรอยเลื่อนลำปาง-แพร่	35
รูป 3.3	การหาค่าดัชนีความคด โค้งเชิงเขา (จาก Keller และคณะ, 1996)	36
รูป 3.4	แผนที่แสดงดัชนีความคดโค้งเชิงเขา บริเวณกลุ่มรอยเลื่อนลำปาง-แพร่	38
รูป 4.1ก	แผนที่ธรณีวิทยาบริเวณรอยเลื่อนมีพลังของกลุ่มรอยเลื่อนลำปาง-แพร่ (คัดแปลง	42
•	จาก Charoenprawat และคณะ, 1994 และกรมทรัพยากรธรณี, 2541)	
รูป 4.1ข	คำอธิบายแผนที่ธรณีวิทยาบริเวณรอยเลื่อนมีพลังของกลุ่มรอยเลื่อนเถิน-แพร่	43
รูป 5.1	แผนภาพอย่างง่ายแสดงโครงข่ายผลึกที่มีประจุ(ionic crystal) อย่างง่าย ที่เกิดจาก	51
	ความผิดปกติโดยเรียงลำดับจากซ้ายไปขวา ได้แก่ ความผิดปกติเนื่องจากประจุลบ	
	หายไปจากตำแหน่งที่ควรอยู่(negative-ion vacancy) ความผิดปกติเนื่องจากประจุ	
	ลบแทรกอยู่ระหว่างกลาง(negative-ion interstitial) และความผิดปกติเนื่องจากการ	
	แทนที่ของศูนย์กลางความไม่บริสุทธิ์(substitutional impurity center)(จาก Aitken,	
	1985)	
รูป 5.2	แผนภาพแสดงบริเวณระดับพลังงานที่เกิดการเรื่องแสงความร้อน (จาก Aitken,	52
	1985)	
รูป 5.3	กราฟตัวอย่างแสดงความสัมพันธ์ระหว่างค่าปริมาณการเรื่องแสงค้วยความร้อนกับ	53
	อุณหภูมิ (ที่เรียกกราฟเส้นสว่าง glow-curve) กราฟ (a) แสคงค่าปริมาณการเรื่อง	
	แสงค้วยความร้อนที่วัดได้ครั้งแรกและกราฟ (b) แสดงค่าปริมาณการเรื่องแสงค้วย	
	ความร้อนที่วัดได้ครั้งที่สองจากตัวอย่างเดิม (จาก Aitken, 1985)	
รูป 5.4	ค่าความเข้มของสัญญาณการเรื่องแสงความร้อนสูงสุด(peak) ในแต่ละครั้งของการ	53
	อาบแคดของตัวอย่างดินลมหอบจากประเทศฝรั่งเศส โดยการอาบ แคดเทียมใน	
	ห้องปฏิบัติการ (จาก Aitken, 1985)	

		หน้า
รูป 5.5	แผนภาพแสดงส่วนประกอบหลักของเครื่องวัดปริมาณแสง (จาก Aitken, 1985)	54
รูป 5.6	เครื่อง Portable gamma spectrometer ที่ใช้วัดหาปริมาณความเข้มข้นของธาตุ	56
	กัมมันตรังสีคือ U, Th และ K ของชั้นตะกอนอายุใหม่ๆ ในสนาม (จาก	
	http://www.users.globalnet.co.uk~qtls/)	
รูป 5.7	อิทธิพลการคูคซับของน้ำภายในช่องว่างระหว่างชิ้นส่วนเครื่องปั้นดินเผาหนา (a)	56
•	ถ้าช่องว่างหนาเพียง 0.02 ใมครอน มีน้ำอยู่เดิม น่าจะ ไม่ยอมให้อนุภาคอัลฟาที่ออก	
	จากนิวเคลียสของเรคอนผ่านได้ (b) แต่ถ้าช่องว่างนั้นเป็นอากาศ อากาศจะยอมให้	
	อนุภาคอัลฟาสามารถผ่านได้ในช่องว่างที่ไม่มีน้ำอยู่นั้นได้ (จาก Aitken, 1985)	
รูป 5.8	้ แผนผังแสดงขั้นตอนการเตรียมตัวอย่างดินเพื่อหาอายุด้วยวิธีเรื่องแสงความร้อนใน	60
વા	การศึกษาครั้งนี้ (ดัดแปลงจาก Takashima, 1991)	
ฐป 5.9	กราฟเส้นสว่างของตัวอย่างตะกอนละเอียด เมื่อเส้น N เป็นค่าเส้นสว่างปกติ	61
વા	(Natural glow curve) ที่ประกอบด้วยผลรวมของความเข้มของสัญญาณ A และ B	
	ส่วนเส้นกราฟ T แสดงถึงการสูญเสียสัญญาณการเรื่องแสง (TL) จากการปลด	
	ปล่องความร้อนในแต่ละช่วงอุณหภูมิ (เมื่อ C <sub>A</sub> = A/N) ซึ่งทำให้สามารถคัดเลือก	
	ช่วงอุณหภูมิที่เหมาะสมในการหาอายุได้ที่ 290 – 300 ° ซ	
รูป 5.10	วิธีเพิ่มค่ารังสี(additive dose หรือ first glows) เพื่อหาค่าความเข้มการเรืองแสง (Q)	63
g B 2.10	ในตัวอยางตะกอนคินด้วยการนำตัวอย่างตะกอนที่ให้ปริมาณสัญญาณธรรมชาติ	05
	(N) มาอาบรังสีเบต้า (หรือแกมม่า) โดยเพิ่มขึ้นเป็นทวีคูณ เช่นครั้งละ 100 เกรย์	
	200, 300 ฯลฯ (N+1β, N+2β+) ส่วน Go เป็นค่าคงเหลืออยู่ในดิน (จาก	
	Aitken, 1985)	
รูป 5.11	วิธีสร้างสัญญาณใหม่(regeneration) ซึ่งทำได้โดยให้ตัวอย่างที่ผ่านการอาบแดดเป็น	63
ឡី⊓ 2.11	เวลา 24 ชั่วโมง มาอาบรังสีเพิ่มเป็นทวีคูณ โดยใช้จุดเริ่มต้นของกราฟที่จุดค่าคง	03
	เมลา 24 ขางมา มายาบางสหมเบนทางกูน เพองบงุพเวมพนงยงกางพทงุพกาศง เหลืออยู่ $(G_0)$ ดังนั้นเมื่อทราบค่าความเข้มการเรืองแสง(TL) ในธรรมชาติ $(G_N)$ ก็	
	สามารถหาค่าความเข้มการเรื่องแสง(Paleodose หรือ P) ของตัวอย่างตะกอนดินได้	
	(จาก Aitken, 1985)	
รูป 5.12	วิธีลบล้างสัญญาณบางส่วน(partial bleach) ทำได้โดยการนำตัวอย่างดินไป	64
រួប 3.12	อาบแคคเพียง 1-2 ชั่วโมงแล้วนำมาอาบรังสีเพิ่มทวีคูณเป็นช่วงๆ แล้วลากกราฟ	04
	อาบแคดเพยง 1-2 ชว เมงแลวนามาอาบรงสเพมพวคูนแบนชวงๆ แลวลากกราพ เส้นตรง โดยนำมาเทียบเคียงกับวิธีเพิ่มค่ารังสี (additive dose) ในกราฟบนก็จะได้	
	เสนตรง เดยนาม แทยบเทยงกบาษเพมหารงส (additive dose) เนกราพบนกจะ เต ค่า Paleodose(Q) โดยที่ไม่ต้องหาค่าคงเหลืออยู่ในดิน	
	ท i Paleodose(Q) ไทยท เมตอาท เท เท่าเทสออยู่ เนตน	

		หน้า
รูป 5.13	กราฟเส้นสว่าง (glow curves) แสดงความสัมพันธ์ระหว่างความเข้มของสัญญาณ การเรื่องแสง(TL)กับอุณหภูมิของตัวอย่างตะกอนละเอียด โดยแสดงถึงสัญญาณ การเรื่องแสงธรรมชาติ(N) สัญญาณคงเหลืออยู่(R) ซึ่งได้จากการนำตัวอย่าง ธรรมชาติไปอาบแดดเป็นเวลานาน แล้วนำไปอาบรังสีที่ความเข้ม 15, 30, 60 และ 120 Gy โดยเลือกใช้ช่วงอุณหภูมิประมาณ 290° ถึง 300°ซ (จากรูป 5.9)	64
รูป 5.14	กราฟแสดงการเปรียบเทียบการหาค่าการเรื่องแสงทั้งหมด (Paleodose) ด้วยวิธีเพิ่ม ค่ารังสี (First glows หรือ additive dose) กับที่ได้จากวิธีการสร้างสัญญาณใหม่หมด (Regenerated glows) โดยที่ให้ผลเท่ากันคือ 40 Gy	65
รูป 5.15	แนวกลุ่มรอยเลื่อนเถิน-แพร่ ในพื้นที่จังหวัดลำปาง-แพร่ และตำแหน่งร่องสำรวจ บ้านมาย บ้านบอม และบ้านสมัย	70
รูป 5.16ก,	ตะกอนไม่จับแน่น (unconsolidated deposit) ที่โผล่ให้เห็นเนื่องจากถนนตัดผ่าน	72
รูป 5.16ข	(road-cut exposure) ณ หลักกิโลเมตรที่ 28+600 ถนนลำปาง-ลอง ที่แสดงแนวรอย เลื่อนปกติ ซึ่งตัดผ่านชั้นกรวดและชั้นดินเหนียวจนทำให้เกิดการเลื่อนตัวในแนวดิ่ง 1.5 เมตร โดยมีชั้นกรวดอายุอ่อนปิดทับรอยเลื่อน และ (ข) อายุชั้นดินเหนียวที่วัด ด้วยวิธีเรื่องแสงความร้อน ณ หลักกิโลเมตรที่ 28+000 ถนนลำปาง-ลอง ซึ่งหาอายุ ได้ประมาณ 50,000 ปี (ชั้นล่าง) และ 39,000 ปี (ชั้นบน)	
รูป 5.17	สภาพภูมิประเทศบริเวณบ้านมาย(ภาพล่าง,ส่วนหน้า) ที่รอยเลื่อนบ้านมายพาดผ่าน ในส่วนหน้าของเขา จนเกิดความแตกต่างของพื้นที่แนวดิ่ง 6 เมตร เส้นปะในภาพ บนขวาคือแนวรอยเลื่อนที่ลากบนแผนที่ภูมิประเทศ	74
รูป 5.18	สภาพภูมิประเทศบริเวณเชิงเขาบ้านมายแสดงร่องสำรวจบ้านมาย 1 ใต้แนวหน้าผา รอยเลื่อน	75
รูป 5.19	แผนที่ภูมิประเทศรายละเอียดบริเวณโดยรอบร่องสำรวจบ้านมาย 1 และบ้านมาย 2 รวมทั้งแสดงลักษณะทางน้ำหักงอในแบบเหลื่อมซ้าย จุดวงกลมในรูปเล็กคือพื้นที่ การสำรวจในครั้งนี้	76
รูป 5.20ก	ลำดับชั้นดินพร้อมอายุที่หาได้ด้วยวิธีเรื่องแสงความร้อน(TL) และแนวรอยเลื่อนที่ ปรากฏบนผนังด้านใต้ของร่องสำรวจบ้านมาย 1	77
รูป 5.20ข	ภาพถ่ายของลำดับชั้นดินผนังด้านใต้ของร่องสำรวจบ้านมาย 1	78
รูป 5.21	แนวรอยเลื่อนต้นงุ้น ที่มีลักษณะกึ่งโค้งที่ปรากฏบนแผนที่ภูมิประเทศ	79
รูป 5.22ก	หน้าผาสามเหลี่ยมหน้าผาที่ลาดลงอ่างเก็บน้ำห้วยไพร หน้าผาดังกล่าวเกิดจากการ กระทำของรอยเลื่อนต้นงันด้านทิศเหนือของดอยต้นงัน อ.แม่ทะ จ.ลำปาง	80

		หน้า
รูป 5.22ข	พื้นที่เชิงเขาของคอยต้นงุ้น ใกล้บ้านบอมหลวง ที่เป็นตำแหน่งของร่องสำรวจบ้าน	81
	บอม .	
รูป 5.23	แผนที่ภูมิประเทศรายละเอียดโดยรอบร่องสำรวจบ้านบอม แสดงลักษณะการ	82
	วางตัวของรอยเลื่อนและทางน้ำหักงอเหลื่อมซ้ายเป็นระยะทาง 12 เมตร วงกลม แสดงพื้นที่ทำการศึกษาครั้งนี้	
รูป 5.24ก	ลำคับชั้นตะกอนคินในร่องสำรวจบ้านบอมของผนังค้านตะวันตก แสคงอายุของ	83
	ตะกอนที่หาได้ด้วยวิธีเรื่องแสงความร้อน และรอยเลื่อนที่ตัดผ่านชันตะกอน	
รูป 5.24ข	ภาพถ่ายชั้นคินผนังค้านตะวันตกของร่องสำรวจบ้านบอม อ. แม่ทะ จ. ลำปาง	84
รูป 5.25	หน้าผาสามเหลี่ยมหลายระดับที่พบตามไหล่เขาปากห้วยสระ บ้านสมัย อำเภอสบ	86
	ปราบ จังหวัดลำปาง เส้นปะคือแนวรอยเลื่อนในรูปล่าง ส่วนตำแหน่งแนวรอย	
	เลื่อนได้แสดงในแผนที่ในรูปบน	
รูป 5.26	แผนที่ภูมิประเทศรายละเอียดโดยรอบร่องสำรวจบ้านสมัย อำเภอสบปราบ จังหวัด	87
	ลำปาง แสดงตำแหน่งของรอยเลื่อนสบปราบ และรอยเลื่อนสาขา โดยวงกลมแสดง	
	ตำแหน่งพื้นที่ศึกษาครั้งนี้	
รูป 5.27ก	ลำคับชั้นคินพร้อมอายุที่หาได้ด้วยวิธีเรื่องแสงความร้อน (TL) และแนวรอยเลื่อนที่	88
	ปรากฏในร่องสำรวจบ้านสมัยของผนังค้านตะวันออก	
รูป 5.27ข	ลำคับชั้นตะกอนยุคใหม่ไม่จับตัวแข็งที่สะสมตัวตามไหล่เขาและคินชั้นบนบริเวณ	89
	ผนังค้านตะวันออกของร่องสำรวจบ้านสมัย	
รูป 5.28	ภาพ Stereonet diagram ของข้อมูลระนาบรอยไถล (Slickensided surfaces) ที่	90
	ปรากฏตามแนวรอยเลื่อนลองในพื้นที่กรอบสี่เหลี่ยมภาพซ้ายมือ จำนวน 8 ค่า และ	
	จุควงกลมคำเล็กเป็นค่า Slickenlines ที่บ่งบอกถึงการเคลื่อนตัวไปค้านซ้ายของรอย	
	เลื่อน	
รูป 5.29	ระนาบรอยไถลของรอยเลื่อนลอง ที่พบในหินทัฟฟ์เนื้อไรโอไลต์ บริเวณหลัก	90
	กิโลเมตรที่ 54+000 ของทางหลวงหมายเลข 1023 ช่วงอำเภอวังชิ้น-อำเภอลอง	
รูป 5.30	หน้าผาสามเหลี่ยมหลายระดับที่เกิดจากการเคลื่อนตัวของรอยเลื่อนลอง บริเวณอ่าง	91
	เก็บน้ำบ้านแม่จอก อำเภอลอง จังหวัดแพร่	
รูป 5.31	ผลการแปลภาพถ่ายทางอากาศของรอยเลื่อนแม่มาน บริเวณค้านตะวันออกเฉียงใต้	93
	ของเมืองแพร่	
รูป 5.32	ลักษณะธรณีสัณฐานของรอยเลื่อนมีพลังรอยเลื่อนแม่มาน พบบริเวณทิวเขา	94
	ตะวันออกของแอ่งแพร <b>่</b>	

		หน้า
รูป 5.33	ภาพถ่ายหน้าตัดชั้นตะกอน(ภาพบน)และภาพการแปลความหมายบ่อดินที่มีรอย เลื่อนตัดผ่านชั้นกรวดบริเวณบ้านทุ่งเจริญ และผลการหาอายุชั้นตะกอนดิน	95
รูป 5.34	ภาพถ่ายหน้าตัดชั้นตะกอนยุคใหม่ผนังบ่อดิน(ภาพบน)และภาพการแปล	97
<sub>а</sub> п <i>э.</i> э4	ภาพถายหนาเพลงนพรกอนอุกาทมหนาบอกน(ภาพบน)และภาพการแบล ความหมาย(ขวาล่าง) รอยเลื่อนตัดผ่านชั้นกรวคบริเวณพระธาตุจอมแจ้ง1 และ ผลการหาอายุชั้นตะกอน	91
รูป 5.35	ภาพถ่ายหน้าตัดชั้นตะกอนยุกใหม่ผนังบ่อดิน CC2(ภาพบน)และภาพการแปล ความหมาย(ขวาล่าง) ที่มีรอยเลื่อนตัดผ่านชั้นกรวดบริเวณพระธาตุจอมแจ้ง2 และ	98
	ความหมาย(ขวาลาง) ทมรอยเลอนตดผานชนกรวดบรเวณพระธาตุจอมแจง2 และ ผลการหาอายุชั้นตะกอน	
รูป 5.36	ภาพถ่ายหน้าตัดชั้นตะกอนทะเลสาบยุคใหม่ผนังบ่อดินและภาพการแปล	99
	ความหมาย(ขวาล่าง)รอยเลื่อนที่ตัดผ่านชั้นกรวดบริเวณบ้านป่าแดง1 ด้านซ้าย และผลการหาอายุชั้นตะกอน	
รูป 5.37	ภาพถ่ายหน้าตัดชั้นตะกอนยุคใหม่ผนังบ่อดิน G2(รูปบน)และภาพการแปล	101
વ	ความหมาย(ขวาล่าง)ที่มีรอยเลื่อนตัดผ่านบริเวณที่ทิ้งขยะบ้านป่าแดงและผลการหา อายุชั้นตะกอน	
รูป 6.1	แผนที่ภูมิประเทศ ย่อจากมาตราส่วน 1:250,000 แสดงขอบเขตของพื้นที่ศึกษาและ	106
v	ลักษณะภูมิประเทศอย่างง่าย	
รูป 6.2	แผนผังขั้นตอนการวิเคราะห์ข้อมูลจากภาพดาวเทียมในการศึกษานี้	109
รูป 6.3	ดัชนีภาพดาวเทียม Landsat บริเวณประเทศไทยแสดง path และrow ของแนวการ	111
	บินสำรวจ และ กรอบสี่เหลี่ยมแสคงพื้นที่ศึกษาที่ครอบคลุมเส้นทางการบินสำรวจ	
	(path/row)	
รูป 6.4	ก) กราฟแสดงลักษณะการกระจายตัวของข้อมูล โดยใช้วิธีการปรับค่าสีเทา (gray scale	112
	adjustment) ข) ภาพจากคาวเทียมที่ยังไม่ผ่านการปรับค่าสีเทา และ ค) ภาพจาก	
	คาวเทียมที่ผ่านการปรับค่าสีเทาแล้ว ซึ่งเห็นลักษณะภาพที่คมชัดขึ้น ในภาพเป็น	
	บริเวณ อำเภอเมือง จังหวัดลำปาง	
รูป 6.5	ภาพจากดาวเทียมที่เน้นด้วยวิธีกรองภาพเชิงระยะและทิศทาง (Spatial and directional	113
	filtering) แสดงความคมชัดของแนวเส้น (lineament) สภาพภูมิประเทศ (landscape)	
	และสิ่งปลูกสร้าง (man-made objects) ในแถบแอ่งตะกอนสบปราบ (สีฟ้าอมเขียว	
	ทางซ้ายมือ)	

		หน้า
รูป 6.6	ภาพจากคาวเทียมแสดงลักษณะสีผสม  ก) ภาพสีผสมเท็จของช่วงคลื่นที่4(แดง),5(เขียว) และ 7(น้ำเงิน) บริเวณคอย  ขุนแม่ถอด จ.ลำปาง ข) ภาพสีผสมจริง ช่วงคลื่นที่ 3(แดง), 2(เขียว)  และ 1(น้ำเงิน)ในพื้นที่เดียวกัน	116
รูป 6.7	ภาพจากดาวเทียมที่ผ่านการผสมสีเท็จ(false-colored) แสดงผลการจัดกลุ่มข้อมูล ตามค่าทางสถิติด้วยวิธีจำแนกด้วยคอมพิวเตอร์ (Unsupervised classification) ของ บริเวณจังหวัดตาก	116
รูป 6.8	พื้นที่ที่กำหนดข้อมูลตัวอย่าง สีชมพู = พื้นที่ชุมชนที่อยู่ร่วมกับสวนผลไม้, สีเหลือง = พื้นที่ว่างไม่มีสิ่งปกคลุม, สีฟ้า = ชุมชนเมือง และสีเขียว, สีน้ำเงินและสีม่วง = ป่า ไม้ทีมีความหนาแน่นในระดับต่างๆ (รูปเดียวกับรูป 6.7)	118
รูป 6.9	ภาพจากดาวเทียมที่ผ่านการผสมสีเท็จซึ่งแสดงผลการจัดกลุ่มข้อมูลตามค่าทางสถิต วิธีจำแนกด้วยคอมพิวเตอร์ (Supervised classification) (รูปเดียวกับรูป 6.7)	118
รูป 6.10	แสดงค่าการสะท้อนสัญญาณของพื้นที่ชุมชนระดับจังหวัด ก) รูปตาราง และ ข) ในรูปกราฟ	119
รูป 6.11	พื้นที่ชุมชนระดับจังหวัด ในภาพคือพื้นที่จังหวัดตาก (รูปเดียวกับรูป 6.7) ก) แสดงลักษณะข้อมูลภาพที่ได้จากจากดาวเทียม ข) ผลการแปลความหมาย สีเขียวแสดงถึงพื้นที่ชุมชนระดับจังหวัด และสีม่วง แสดงถึงพื้นที่ชุมชนอื่นๆ	119
รูป 6.12	ค่าการสะท้อนสัญญาณของพื้นที่ชุมชมระดับอำเภอ ก) รูปตาราง และ ข) ใน รูปกราฟ	120
รูป 6.13	พื้นที่ชุมชนระดับอำเภอ ในภาพคือพื้นที่แอ่งตะกอนในเขตอำเภอลอง จังหวัดแพร่ ก) ลักษณะข้อมูลภาพที่ได้จากดาวเทียม ข) ผลการแปลความหมายสีเขียวแสดงถึงพื้นที่ชุมชนระดับอำเภอ และสีม่วงแสดง ถึงพื้นที่ชุมชนอื่นๆ	120
รูป 6.14	ค่าการสะท้อนสัญญาณของพื้นที่ชุมชมระดับหมู่บ้าน ก) รูปตาราง และ ข) ใน รูปกราฟ	121

		หน้า
รูป 6.15	พื้นที่ชุมชนระดับหมู่บ้าน บริเวณอำเภอศรีสำโรง และอำเภอเมือง จังหวัดสุโขทัย ก) ลักษณะข้อมูลภาพที่ได้จากดาวเทียม	121
	ข) ผลการแปลความหมายสีเขียวแสดงถึงพื้นที่ชุมชนระดับหมู่บ้าน และสีม่วง แสดงถึงพื้นที่ชุมชนอื่นๆ	
รูป 6.16	พื้นที่ชุมชนระดับนิคมสร้างตนเอง บริเวณการไฟฟ้าฝ่ายผลิตแม่เมาะ จังหวัดลำปาง	124
รูป 6.17	ก) แสดงลักษณะข้อมูลภาพจากคาวเทียม ข) แสดงผลการแปลความหมาย ค่าการสะท้อนสัญญาณของแหล่งน้ำ	124
•		
รูป 6.18	พื้นที่แหล่งน้ำ บริเวณอำเภอสูงเม่น จังหวัดแพร่	124
	ก) ลักษณะข้อมูลภาพจากดาวเทียม   ข) แสดงผลการแปลความหมาย 	
รูป 6.19	แผนที่แสดงเส้นโครงข่ายถนน ซึ่งเป็นลักษณะหนึ่งที่แสดงถึงความหนาแน่นของ	125
	ประชากร โดยแปลผลจากข้อมูลภาพดาวเทียม	
รูป 6.20	การซ้อนทับผลการแปลความหมายภาพจากดาวเทียมด้วยโปรแกรม Arc View	126
	version 3.2	
รูป 6.21	แผนที่แสดงรอยเลื่อนในเขตจังหวัดลำปาง – แพร่ และการกระจายตัวของเขต	127
	ชุมชนในบริเวณที่ศึกษาและใกล้เคียง	
รูป 7.1	รูปจำลองอย่างง่ายของส่วนใต้ของแอ่งแพร่ แสคงรอยเลื่อน 3 กลุ่ม ได้แก่ รอยเลื่อน	130
	บริเวณขอบด้านตะวันออก รอยเลื่อนบริเวณขอบด้านตะวันตก และกลุ่มรอยเลื่อน	
	บริเวณกลางแอ่ง บริเวณขอบค้านตะวันออกจะพบรอยเลื่อนขนาดเล็ก(minor fault)	
	ตัดเข้ามาเชื่อมกับรอยเลื่อนขนาดใหญ่(major fault) แม่น้ำยมไหลผ่านแอ่งใกล้ขอบ	
	แอ่งด้านตะวันตกสัมพันธ์กับระดับของพื้นผิวแอ่ง	
รูป 7.2	แบบจำลองความเค้นรูปไข่อย่างง่ายของพื้นที่ศึกษา ในยุคก่อนและหลังการชนกัน	132
	ของแผ่นเปลือกโลกอินเดียและเอเชีย(45 ล้านปี) 🗗 คือแนวแกนของแรงอัคสูงสุด	
	<b>O</b> ั3 คือแนวแกนของแรงอัดต่ำสุด	
รูป 7.3	์ หลักฐานการพิจารณาจำนวนครั้งของเหตุการณ์แผ่นดินไหวที่พบด้านขอบ	134
	ตะวันออกของแอ่งแพร่ ภาพ A และ B เป็นหลักฐาน	

# สารบัญตาราง

		หน้า
ตาราง 1.1	แผนการดำเนินงานตลอดโครงการปีที่ 1 (กลุ่มรอยเลื่อนลำปาง-แพร่, จังหวัด	11
	ลำปาง-แพร่)	
ตาราง 3.1	ลำคับความมีพลังของกลุ่มรอยเลื่อนลำปาง	39
ตาราง 4.1	ผลการวิเคราะห์ทิศทางการขยายออกของพื้นที่ศึกษาจังหวัดแพร่	48
ตาราง <b>5</b> .1	การนำ TL ไปใช้ประโยชน์ในวิทยาสาขาต่าง ๆ (Thermoluminescence	50
	applications)	
ตาราง 5.2	ปริมาณความเข้มของรังสีอัลฟา รังสีเบต้า และรังสีแกมม่า ที่เกิดจากการแผ่	59
	กัมมันตภาพรังสีของธาตุกัมมันตรังสี ในเวลา 1 ปี มีหน่วยเป็น ใมโครเกรย์ต่อปี	
ตาราง 5.3ก	ผลการหาอายุของตัวอย่างตะกอนจากร่องสำรวจบ้านบอม (BB) บ้านสมัย (HS) และ	67
	บ้านมาย (Mai) รวมแหล่งดินโผล่ข้างถนน (LP) ในจังหวัดลำปางด้วยวิธีเรื่อง	
	แสงคั่วยความร้อน	
ตาราง 5.3ข	ผลการหาอายุของตัวอย่างตะกอนจากจังหวัดแพร่ด้วยวิธีเรื่องแสงด้วยความร้อน	68
ตาราง 7.1	อัตราการเคลื่อนตัวต่อปี(slip rate) ของรอยเลื่อนและขนาดกำลังแรงแผ่นดินไหวใน	135
	อดีต (Mw)	

## บทที่ 1

### บทนำ

## 1.1 ความสำคัญและที่มาของปัญหาที่ทำการวิจัย

การศึกษาแผ่นดินใหวและรอยเลื่อนในประเทศไทยไม่ได้ทำอย่างจริงจังมากนัก การศึกษาส่วนใหญ่เป็น การศึกษาในภาพรวมบริเวณกว้างๆ และเป็นผลงานที่ศึกษาไว้ค่อนข้างนานแล้วในอดีต ทั้งนี้อาจเนื่องมาจาก ความพร้อมทางด้านเทคโนโลยีที่มีอยู่ค่อนข้างจำกัดกว่าในปัจจุบัน วิธีการศึกษารอยเลื่อนรอยเลื่อนที่นิยมใน ปัจจุบันมักใช้วิธีการศึกษาธรณีวิทยาแผ่นดินไหวโบราณ(Paleoseismology) ซึ่งเป็นการศึกษาที่มุ่งเน้นการเลื่อนตัวของรอยเลื่อนซึ่งเชื่อว่าก่อให้เกิดแผ่นดินไหว ผลที่ได้ทำให้ทราบถึงลักษณะการเลื่อนตัวในอดีตของรอยเลื่อนขนาดของแผ่นดินไหวและช่วงเวลาที่เกิด ทำให้ทราบว่ารอยเลื่อนที่ศึกษาน่าจะมีศักยภาพในการเลื่อนตัวอีกหรือไม่ เพื่อประโยชน์ในการวางแผนป้องกันและรับมือกับภัยที่อาจเกิดขึ้นต่อไป

ทั้งนี้เนื่องจากหลักฐานการบันทึก ประเทศไทยไม่อาจจัดอยู่ในเขตที่ปลอดจากแผ่นดินไหว ประวัติศาสตร์ (historical earthquake data) จดหมายเหตุ ศิลาจารึกและพงศาวดารได้ ระบุว่าประเทศได้เคย ได้รับผลกระทบจากแผ่นดินไหวทั้งขนาดปานกลางจนถึงขนาดใหญ่มาแล้วหลายครั้งและยังความเสียหายให้กับ พื้นที่ในหลายภูมิภาคของประเทศ โดยเฉพาะภาคเหนือและภาคตะวันตก แผ่นดินไหวครั้งสำคัญเมื่อ พ.ศ. 2478 ตรวจพบมีศูนย์กลางอยู่ที่ จ.น่าน มีขนาดถึง 6.5 ริกเตอร์ แผ่นดินไหวเช้าตรู่ของวันที่ 22 เมษายน พ.ศ. 2526 บริเวณเขื่อนวชิราลงกรณ จังหวัดกาญจนบุรี มีขนาด 5.9 ริกเตอร์ รู้สึกได้ทั่วทั้งภาคกลางและภาคเหนือ อาคาร ในกรุงเทพมหานครเสียหายเล็กน้อย และแผ่นดินไหวเกิดที่อำเภอพาน จ.เชียงราย เมื่อ วันที่ 11 กันยายน พ.ศ. 2537 มีขนาด 5.1 ริกเตอร์ ก่อให้เกิดความเสียหายต่อโรงพยาบาลพาน จ.เชียงราย นอกจากนี้ยังมี แผ่นดินไหวที่ เกิดขึ้นแล้วมีศูนย์กลางอยู่บริเวณประเทศเพื่อนบ้านแล้วมีผลสั่นสะเทือนมาถึงประเทศไทย โดยเฉพาะบริเวณ ภาคตะวันตกและภาคเหนือ ข้อมูลการเกิดแผ่นดินไหวที่ตรวจวัดได้(instrumental earthquake data)โดยกรม อุตูนิยมวิทยาทำให้ทราบว่า แผ่นดินไหวมีศูนย์กลาง(epicenter) มีการกระจายตัวในแถบพรมแดนไทย-พม่า เมียนมาร์ ไทย-ลาว, จีน-เมียนมาร์ หรือในทะเลอันดามัน และยังสามารถตรวจวัดได้เป็นประจำ จึงแสดงให้ จากข้อมูล โดยทั่วไปทาง เห็นชัดว่าเปลือกโลกในบริเวณแถบดังกล่าวยังมีการเปลี่ยนแปลงอยู่(dynamic) ทำให้เชื่อว่าแผ่นดินใหวน่าจะมีส่วนสัมพันธ์ไม่มากก็น้อยกับลักษณะโครงสร้างทางธรณีวิทยาที่ หรณีวิทยา สำคัญ เช่น แนวรอยเลื่อนขนาดใหญ่(major faults) และแนวการคดโค้งโก่งงอใหญ่ๆ (major folds) จากข้อมูล ธรณีวิทยาแปรสัณฐานเชิงการใหวสะเทือน(seismotectonics) ในภูมิภาคแถบนี้ พบเห็นอย่างชัดเจนในแถบ บริเวณภาคตะวันตกและภาคเหนือของประเทศและยังครอบคลุมบางส่วนของลาว ส่วนใหญ่ของประเทศ เมียนมาร์และตอนใต้ของจีน (ปัญญา จารุศิริและคณะ, 2543) นักธรณีวิทยาหลายท่าน (Hinthong, 1997, Nutalaya และคณะ 1985) เชื่อว่าเป็นผลกระทบที่เกิดจากขบวนการแปรสัณฐาน(tectonic process) อันเป็นผลสืบ

เนื่องมาจากการชนกัน(collision) ระหว่างแผ่นเปลือกโลกอินเคีย(Indian lithospheric plate)กับแผ่นเปลือกโลก ยูเรเซีย(Eurasian lithospheric plate) นับตั้งแต่ 35-45 ล้านปีมาแล้ว ซึ่งยังผลให้บ้างส่วนแผ่นอินเคียมุดตัว (subduction)ลงไปใต้แผ่นยูเรเซียและการมุดตัวยังคงคำเนินมาจนถึงปัจจุบัน

สำหรับการศึกษาทางด้านธรณีวิทยาแผ่นดินใหว(earthquake geology)ในประเทศไทยผู้ที่ทำการศึกษา เป็นคณะแรกๆ คือ Nutalaya และคณะ (1985) โดยได้การกำหนดแหล่งกำเนิดคลื่นแผ่นดินใหวของประเทศ ไทย-เมียนมาร์และอินโดจีน สามารถแบ่งได้ 12 เขต ในส่วนของประเทศไทยนั้นอยู่ใน Zone F (Tenassarim Range) และ Zone G (Northern Thailand) ซึ่ง Zone F นั้นประกอบไปด้วยรอยเลื่อนที่อยู่ในประเทศเมียนมาร์ คือรอยเลื่อนตองยี รอยเลื่อนพานหลวง ในประเทศไทยประกอบด้วย 3 กลุ่มรอยเลื่อนคือ รอยเลื่อนเมย-อุทัยธานี รอยเลื่อนศรีสวัสดิ์และรอยเลื่อนเจดีย์สามองค์ มีลักษณะการเลื่อนตัวทางขวา ส่วน Zone G ครอบคลุมกลุ่มรอย เลื่อนแม่ทา รอยเลื่อนเถิน และรอยเลื่อนแพร่

Siribhakdi (1987) กล่าวถึงรอยเลื่อนศรีสวัสดิ์ว่าเป็นรอยเลื่อนที่มีทิศทางการวางตัวตามแนวแม่น้ำแคว ใหญ่ ส่วนปลายทางทิศใต้ของรอยเลื่อนนี้ดูเหมือนจะเป็นส่วนหนึ่งที่ยื่นเข้าไปในรอยเลื่อนเจดีย์สามองค์ และ แผ่นดินใหวที่เกิดขึ้นเมื่อวันที่ 15 และ 22 เมษายน 2526 น่าจะมีความสัมพันธ์อย่างใกล้ชิดกับรอยเลื่อนนี้ จาก การศึกษาภาคสนามพบว่ารอยเลื่อนศรีสวัสดิ์น่าจะเป็นรอยเลื่อนมุมต่ำมีมุมเอียงเททางด้านตะวันออก ซึ่งจากโครงสร้างของทั้งรอยเลื่อนเจดีย์สามองค์และรอยเลื่อนศรีสวัสดิ์ที่พบชี้บ่งว่ามีแรงอัด (Compression) มากระทำจากทิศตะวันตกเฉียงใต้ แรงเหล่านี้อาจมีต้นกำเนิดมากจาก spreading ridge และเขต มุคตัว (Subduction zone) ในทะเลอันคามัน สอคคล้องกับการศึกษาของ Shrestha (1987) ที่กล่าวว่าแผ่นดินไหว ครั้งใหญ่เมื่อวันที่ 15 และ 22 เมษายน 2526 เกิดขึ้นตามแนวของรอยเลื่อนศรีสวัสดิ์ และแผ่นดินไหวที่เกิดขึ้น ทั้ง 2 ครั้งนี้เป็นแผ่นดินใหวในระดับตื้น นอกจากนี้ได้อ้างถึงงานของ Le Dain และ คณะ, 1984 ซึ่งได้จัดทำ focal plane solution ของแผ่นดินใหวเมื่อวันที่ 22 เมษายน แสดงให้เห็นว่าแผ่นดินใหวครั้งนี้เกิดจากการเลื่อน ้ตัวของรอยเลื่อนในแนวระนาบทางขวา ในส่วนของการไฟฟ้าฝ่ายผลิตแห่งประเทศไทยเอง ศุภวรรณ คล้ายพงษ์ พันธุ์ และปลิว ชิตตระการ (1987) ได้รายงานผลปรากฏที่เกิดขึ้นจากแผ่นดินไหวทำการศึกษาเกี่ยวกับแผ่นดินไหว ที่เกิดขึ้นบริเวณปลายเขื่อนศรีนครินทร์วันที่ 15 และ 22 เมษายน 2526 ว่าแผ่นดินไหวที่เกิดขึ้นวันที่ 15 เมษายน 2526 นั้นมีขนาค 5.3 Mb และตามมาด้วย Main shock ขนาค 5.9 ริกเตอร์ ในวันที่ 22 เมษายน 2526 นั้น ปรากฏ หลักฐานดังนี้คือ พบหินร่วงบริเวณฝั่งซ้ายของห้วยแม่พลู ซึ่งเป็นหน้าผาหรือ hanging wall ของหินปูนชุดทุ่ง สอง และพบหน้าดินพังทลายบริเวณจุดบรรจบของลำน้ำแควใหญ่และห้วยขาแข้ง โดยเฉพาะหน้าดินของหิน ้บ้านเจ้าเณรควอตซ์ไซต์ นอกจากนี้ยังพบรอยแตกบริเวณทางทิศใต้ของขอบอ่างเก็บน้ำศรีนครินทร์ด้านลำห้วย แม่พลูมีทิศทางประมาณ N75-80°W และมีทิศทางไม่ต่อเนื่องประมาณ 3-4 กม รอยแตกนี้ส่วนใหญ่จะวิ่งขนาน หรือปรากฏบนรอยแตกเดิมซึ่งมีแนวอยู่ประมาณ N80°W ถึงตะวันออก–ตะวันตก และเอียงเทไปทางทิศเหนือ ด้วยมุมประมาณ 65 องศา ถึง 70 องศา และจากการตรวจวัดจุดศูนย์กลางแผ่นดินใหวที่เกิดขึ้นในช่วงเดือน เมษายนถึงเคือนกันยายน 2526 โดยกรมอุตุนิยมวิทยาพบว่ามีอยู่ถึง 143 เหตุการณ์ด้วยกัน

ในปีต่อมา แสงอาทิตย์ เชื้อวิโรจน์ (2534) ได้รวบรวมข้อมูลและบทความต่างๆ ที่เกี่ยวข้องกับธรณีแปร สัณฐานประเทศไทย พอสรุปได้ดังนี้คือ ธรณีแปรสัณฐานแบ่งธรณีวิทยาโครงสร้างของประเทศไทยตามแนว เหนือ-ใต้ ออกเป็น 3 ส่วนใหญ่ๆ คือ หินฐานธรณีฉานไทย, หินฐานธรณีอินโดจีน และกลุ่มแนวชั้นหินคดโค้ง สุโขทัย-กลุ่มแนวชั้นหินคดโค้งเลยที่อยู่ระหว่างกลางของหินฐานทั้งสอง นอกจากนี้ยังจัดกลุ่มรอยเลื่อนที่สำคัญ 3 กลุ่มด้วยกันคือ กลุ่มแรกวางตัวในแนวตะวันตกเฉียงเหนือ-ตะวันออกเฉียงใต้ ได้แก่กลุ่มรอยเลื่อนแม่ปัง กลุ่ม รอยเลื่อนศรีสวัสดิ์ กลุ่มรอยเลื่อนเดียงต์สามองค์และกลุ่มรอยเลื่อนแกลง โดยกลุ่มรอยเลื่อนเหล่านี้เป็นรอยเลื่อน เหลี่ยมข้างที่มีทิศทางการเคลื่อนที่ไปทางขวา กลุ่มรอยเลื่อนเพร่ กลุ่มรอยเลื่อนอุตรดิตถ์ กลุ่มรอยเลื่อนระนองและ กลุ่มรอยเลื่อนคลองมะรุย ซึ่งเป็นกลุ่มรอยเลื่อนเหลี่ยมข้างเช่นกัน แต่มีการเคลื่อนไปทางซ้าย กลุ่มรอยเลื่อนที่ สาม เป็นกลุ่มรอยเลื่อนปกติที่วางตัวในแนวเหนือ-ใต้ ได้แก่กลุ่มรอยเลื่อนแม่ฮ่องสอน กลุ่มรอยเลื่อนแม่ทา กลุ่ม รอยเลื่อนเพชรบูรณ์ และกลุ่มรอยเลื่อนปัตตานี

ชัยยันต์ หินทอง (1991) ทำการศึกษารอยเลื่อนที่คาดว่าจะส่งผลกระทบถึงกรุงเทพมหานคร โดย กล่าวถึงรอยเลื่อนศรีสวัสดิ์ว่าเป็นรอยเลื่อนที่พาดผ่านด้านทิศตะวันตกของประเทศไทย แยกมาจากรอยเลื่อน พานหลวงในประเทศเมียนมาร์ มีแนวพาดผ่านตามทิศตะวันตกเฉียงเหนือ-ตะวันออกเฉียงใต้ ค่อนข้างขนานกับ รอยเลื่อนเมย-อุทัยธานี โดยประมาณ แต่อยู่ถัดลงมาทางใต้ ผ่านอำเภอศรีสวัสดิ์ และบ่อพลอยจังหวัดกาญจนบุรี วางตัวตามลำแม่น้ำแควใหญ่ถึงจังหวัดกาญจนบุรี เมื่อพ้นพรมแดนประเทศไทยออกไปทางตะวันตกแล้ว แนว ค่อนข้างจะเบียงไปทางเหนือเล็กน้อยบรรจบกับรอยเลื่อนเมย-อุทัยธานี และรอยเลื่อนพานหลวง ตัดผ่านชั้นหิน ์ ตั้งแต่มหายุคพาลี โอ โซอิกถึงมหายุคมี โซ โซอิก และน่าจะต่อเลยเข้ามาในแอ่งที่ราบภาคกลางตอนล่างผ่าน กรุงเทพมหานครมีประวัติและธรรมชาติเป็นรอยเลื่อนตามแนวระนาบทางซ้ายในช่วงอายุเทอร์เชียรี ต่อมาใน สมัยควอเทอร์นารีการเคลื่อนใหวกลับทิศทางกันจากเดิม กลายเป็นรอยเลื่อนตามแนวระนาบทางขวา เนื่องจาก ทวีปอินเคียมีการเคลื่อนเข้าหาและ ไปชนกับทวีปเอเชียทางค้านประเทศธิเบต ในราว 45-50 ล้านปีที่ผ่านมาจนถึง ต่อมาในปี 1992 การไฟฟ้าฝ่ายผลิตแห่งประเทศไทยได้เล็งเห็นความสำคัญของการศึกษาด้าน แผ่นดินใหว จึงได้ขอความร่วมมือไปยังกรมทรัพยากรณี ร่วมทำการสำรวจและศึกษาด้านธรณีวิทยา แผ่นดินไหว และแหล่งแร่ เพื่อใช้เป็นข้อมูลในการศึกษาความเป็นไปได้ของโครงการก่อสร้างเขื่อนไฟฟ้าพลัง น้ำยวมและน้ำเงา จังหวัดฮ่องสอน ผลการศึกษาด้านแผ่นดิน ใหวพบว่า กลุ่มรอยเลื่อนเมย-อุทัยธานี มีการวางตัว ในแนวตะวันตกเฉียงเหนือ-ตะวันออกเฉียงใต้ ที่มีการเลื่อนตัวในอดีตแบบซ้ายเข้า(sinistral) และ ได้เปลี่ยนการ เลื่อนตัวเป็นแบบขวาเข้า(dextral) ในช่วงโอลิโกซีน-ไมโอซีน ผนวกเข้ากับผลการหาอายุด้วยวิธีเทอร์ลูมิเนส เซนส์ ได้หาอายุการเลื่อนตัวเมื่อ 0.16 , 0.49 และ 1.17 ล้านปีมาแล้ว ส่วนกลุ่มรอยเลื่อนแม่สะเรียง-แม่ฮ่องสอน ้มีการวางตัวในแนวเหนือ-ใต้ มีการเลื่อนตัวแบบรอยเลื่อนปกติเป็นลักษณะเค่น ผลการอายคั่วยวิธีเทอร์ลมิเนส เซนส์ สามารถบอกได้ว่ามีการเลื่อนตัวมากกว่า 4 ครั้งคือเมื่อ 0.57-0.61 , 0.82-0.91 , 1.57 และ 4.81 ล้านปี มาแล้ว และในพื้นที่เดียวกันนี้ ในปี 1994 Sarapirome & Khundee ได้ทำการศึกษาธรณีแปรสัณฐานใหม่ บริเวณแม่ฮ่องสอน-ขุนยวม โดยใช้การแปลความหมายแนวเส้นโครงสร้างจากดาวเทียม Landsat และภาพถ่าย ทางอากาศ พบรอยเลื่อนที่พาดผ่านในตะกอนยุกควอเทอร์นารีด้วย ผนวกเข้ากับข้อมูลศูนย์กลางแผ่นดินไหว และตำแหน่งน้ำพุร้อนแล้วจึงเชื่อได้ว่าเป็นพื้นที่ที่ยังมีการเคลื่อนตัวอยู่ Hinthong (1995, 1997) ได้มีความพยาม ยามที่จะจัดจำแนกรอยเลื่อนต่างๆ โดยกล่าวไว้ว่า รอยเลื่อนต่างๆ นั้น สามารถจำแนกได้ 2 ประเภท คือ ที่มีพลัง (active or alive) คือรอยเลื่อนที่มีประวัติการเคลื่อนตัวในช่วงเวลาธรณีกาลสมัยโฮโลซีน หรือประมาณ 11,000 ปี และที่ตายแล้ว(dead) ทั้งนี้ได้ใช้ ข้อมูลธรณีวิทยา, ข้อมูลทางประวัติศาสตร์ และข้อมูลที่ได้จากการตรวจวัด แผ่นดินไหว สามารถจำแนกรอยเลื่อนออกได้เป็น 1) รอยเลื่อนประเภทที่มีแนวโน้มอาจเคลื่อนตัวได้ในอนาคต (Potentially active)จำนวน 5 รอยเลื่อน 2) รอยเลื่อนประเภทที่มีประวัติการเคลื่อนตัวในห้วงเวลาประวัติศาสตร์ และเกี่ยวข้องกับแผ่นดินไหว(Historically and Seismologically active)จำนวน 2 รอยเลื่อน 3)รอยเลื่อนประเภท ที่เคลื่อนตัวจากการแปรสัณฐานยุคใหม่(Neotectonically active)จำนวน 8 รอยเลื่อน และ 4) รอยเลื่อนประเภทที่ คาดไว้พลางก่อนว่ามีพลัง(Tentativelly active)จำนวน 7 รอยเลื่อน

Charusiri และคณะ (1996) ได้ทำการศึกษาเบื้องต้นในการ ประยุกต์เทคนิคโทรสัมผัสกับโครงสร้างทาง ธรณีวิทยาที่สัมพันธ์กับแผ่นดินใหว และบริเวณที่มีแนวโน้มว่าจะเกิดแผ่นดินใหวในประเทศไทยและประเทศ เพื่อนบ้าน โดยพยายามประมวลข้อมูลภาพเชิงตัวเลขมาประยุกต์กับการตีความโครงสร้างบริเวณกว้าง โดยเฉพาะแนวเส้น ทั้งนี้อาศัยการแปลภาพจากคาวเทียมชนิดแลนแซต 5 และสปอทต์ ประกอบกับภาพถ่ายทาง อากาศในการวิเคราะห์ธรณีวิทยาโครงสร้างทั้งมาตราส่วนเล็กและใหญ่ จัดทำเป็นแผนที่แนวเส้นโครงสร้างทาง ภาคเหนือของประเทศไทย และประมวลผลข้อมูลเข้ากับข้อมูลศูนย์กลางแผ่นดินไหว เสนอบริเวณแหล่งก่อเกิด แผ่นดินใหวขึ้นใหม่ ในประเทศเมียนมาร์ 7 เขต ในประเทศไทย 6 เขต ในทะลันดามัน 5 เขต ในลาวและ เวียดนาม 2 เขตโดยใช้ข้อมูลการแปลความหมายโทรสัมผัส, tectonic setting, ข้อมูลศูนย์กลางแผ่นดินใหวและ โครงสร้างทางธรณีวิทยา ซึ่งแตกต่างไปจากเขตกำเนิดแผ่นดินใหวของ Nutalaya และคณะ (1985) เป็นอย่างมาก

ในช่วงเวลาเดียวกันนั้น กรมชลประทานมีโครงการก่อสร้างเขื่อนแก่งเสือเต้น เพื่อการชลประทานและ การป้องกันน้ำท่วมในพื้นที่ภาคเหนือตอนล่าง จึงได้ทำการศึกษาผลกระทบสิ่งแวดล้อม ด้านธรณีวิทยา (กทธ, 2539) ในโครงการก่อสร้างแก่งเสือเต้น จังหวัดแพร่ Bott และคณะ (1997) ได้ทำการศึกษารวบรวมข้อมูล สูนย์กลางแผ่นดินไหวบริเวณภาคเหนือของประเทศไทยพบว่า เกิดมีแผ่นดินไหวขนาดสูงสุดถึง MM VI จำนวน 17 ครั้งในพื้นที่โครงการ เหตุการณ์ครั้งสำคัญคือ วันที่ 11 ก.ย. 2537 ที่อำเภอพาน จังหวัดเชียงราย และ ในระหว่าง ปี 1905 ถึง2539 มีแผ่นดินไหวเกิดขึ้น 288 ครั้ง และ Fenton และคณะ (1997) ได้ทำการศึกษา ครอบคลุมพื้นที่ภาคเหนือ พบว่าแอ่งสะสมตะกอนทางภาคเหนือวางตัวในแนวเหนือ-ใต้ และใช้ลักษณะธรณี สัณฐานอาทิเช่น ผารูปสามเหลี่ยม, ทางน้ำหักงอ, หุบเขารูปแก้ว, ผารอยเลื่อน และสันปิดกั้น เป็นตัวบ่งชี้ถึง ความมีพลังของรอยเลื่อน โดยได้รายงานไว้ว่าพบแนวรอยเลื่อนที่สำคัญ 7 แนวรอยเลื่อน โดยรอบบริเวณที่ตั้ง เขื่อน ประกอบไปด้วย รอยเลื่อนแอ่งแพร่ รอยเลื่อนแพร่ รอยเลื่อนเถิน รอยเลื่อนลอง รอยเลื่อนปัว รอยเลื่อนน้ำ ปาด และรอยเลื่อนพะเยา

ในช่วงระยะเวลาต่อมามีผู้ทำการศึกษาธรณีวิทยาแผ่นดินใหวเพิ่มมากขึ้น หนึ่งในนั้นคือกรมทรัพยากร ธรณีในฐานะผู้ทำการสำรวจธรณีวิทยาแผ่นดินใหวตั้งแต่เริ่มต้น ได้ทำการคัดเลือกพื้นที่จังหวัดเชียงรายโดย

สุวิทย์ โคสุวรรณ และอภิชาติ ลำจวน (2541) ทำการศึกษาธรณีแปรสัณฐานยุคใหม่ของรอยเลื่อนแม่จัน ผลจาก การศึกษาพบแนวแตกบนพื้นดินอยู่ในแนวตะวันตก-ตะวันออก ซึ่งมีทั้งแนวรอยเลื่อนหลักและแนวรอยเลื่อน ย่อย สามารถแบ่งย่อยเป็น 5 รอยเลื่อนย่อยคือ รอยเลื่อนย่อยฝาง, รอยเลื่อนย่อยแม่อาย, รอยเลื่อนย่อยแม่จัน, รอย เลื่อนย่อยคงสุวรรณและรอยเลื่อนย่อยเชียงของ นอกจากนี้ยังพบลักษณะของธรณีสัณฐานที่แปรเปลี่ยนไป เนื่องจากพฤติกรรมการเคลื่อนตัวของรอยเลื่อนในลักษณะซ้ายเข้า ซึ่งได้แก่ ลักษณะทางน้ำหักงอ ทะเลสาบ ผา รอยเลื่อน เนินเขาปิดกั้นทางน้ำ และตะพักขั้นบันได ในการศึกษารายละเอียดได้เลือกพื้นที่เหมาะสมและทำการขุด ร่องสำรวจจำนวน 4 ร่อง ได้ทำการเก็บตัวอย่างของชั้นดินตะกอน ตัวอย่างผงรอยเลื่อนจากร่องสำรวจ และ ตัวอย่างผงรอยเลื่อนจากหินโผล่ในบริเวณที่รอยเลื่อนปรากฏตามแนวของการเลื่อนตัวในบริเวณใกล้เคียง การหาอายุของตัวอย่างดินตะกอนที่มีอินทรีย์วัตถุด้วยวิธีการการ์บอนกัมมันตรังสี ( $^{^{14}}$ C) และใช้วิธีการเรื่องแสง ความร้อนสำหรับตัวอย่างดินตะกอนที่ไม่มีอินทรีย์วัตถุและตัวอย่างผงรอยเลื่อน ผลการศึกษาสรุปได้ว่ารอย เลื่อนแม่จันเป็นรอยเลื่อนที่มีศักยภาพในการเคลื่อนตัวได้อีกหรือเป็นรอยเลื่อนที่มีพลัง (active fault) โดยมีแนว การวางตัวเกือบตะวันออก-ตะวันตกมีการเลื่อนตัวแบบซ้ายเข้า รอยเลื่อนใหญ่มีการเอียงตัวไปทางทิศเหนือ และ รอยเลื่อนย่อยมีการเอียงตัวไปทางทิศใต้ เข้าหารอยเลื่อนใหญ่ มุมเอียงเทประมาณ 45 องศา มีการขยับตัวของรอย เลื่อนใหญ่และย่อย ทำให้เกิดแผ่นดินใหวเมื่อประมาณ 92,000 ปี 67,000 ปี 48,000 ปี 25,000 ปี และ 1,600 ปี ที่ ผ่านมาในพื้นที่บริเวณบ้านโป่งขมและบ้านคอนแก้ว และเหตุการณ์แผ่นดินใหวบริเวณบ้านโป่งขมที่เกิดขึ้นใน อดีตเมื่อประมาณ 1,600 ปีที่ผ่านมามีขนาดไม่น้อยกว่า 7 ริกเตอร์ ต่อมา สุวิทย์ โคสุวรรณ และคณะ (2546) ได้ทำ การสำรวจเพิ่มเติมบริเวณบ้านหาดชมพู จังหวัดเชียงใหม่ ในส่วนของรอยเลื่อนย่อยแม่อาย โดยได้ทำการขุดร่อง สำรวจ 9 ร่องสำรวจด้วยกัน ขุดผ่านชั้นตะกอนน้ำพา ตะกอนเศษหินเชิงเขา และตะกอนน้ำพารูปพัดของยุค พบว่ามีอัตราการเคลื่อนตัวในลักษณะเหลื่อมซ้ายในแนบราบและเลื่อนย้อนใน ใพลสโตซีนและโฮโลซีน แนวคิ่ง ในทิศ N50°-80°E และเอียงตัวจากแนบราบ 65°-85° ไปทางเหนือ ในบริเวณตำแหน่งร่องสำรวจและ ใกล้เคียงมีหลักฐานทางธรณีสัณฐานที่เกิดจากรอยเลื่อนมากระทำ ได้แก่ ลักษณะลำธารหักเลื่อน ผารอยเลื่อน ผลการศึกษาขั้นรายละเอียดในร่องสำรวจพบว่ารอยเลื่อนได้ตัดผ่านชั้นเนินตะกอนน้ำพารูปพัด 3 ลำดับชั้น ชั้น ตะกอนต่างๆที่ถูกรอยเลื่อนตัดผ่านนี้ขยับเคลื่อนออกจากกันในแนวราบ 2.7 เมตร ในแนวดิ่ง 0.60 เมตร และ นำไปประเมินได้ว่าสามารถก่อให้เกิดแผ่นดินไหวไม่น้อยกว่า 7 ริกเตอร์ ผลจากการหาอายุด้วนวิธีเรื่องแสง ความร้อนและคาร์บอน 14 พบว่าเคยเกิดแผ่นดินใหวเมื่อ 8,100 ปี 4,000 ปี และ 1,500 ปีล่วงมาแล้ว และอัตรา การเลื่อนตัวของรอยเลื่อนย่อยแม่จันมีอัตราการเคลื่อนตัวประมาณ 0.70 มม ต่อปี ส่วนกลุ่มรอยเลื่อนเมย-แม่ปิง จังหวัดตากนั้น ปรีชา สายทอง (2541) ได้ทำการศึกษาถึงธรณีสัณฐานวิทยาของรอยเลื่อนมีพลังเมย-แม่ปัง ครอบคลุมแผนที่ภูมิประเทศระวางบ้านปางส้าน, ระวางจังหวัดตากและระวางบ้านนาโบสถ์ ได้ทำการแปล ความหมายภาพถ่ายทางอากาศที่แสดงถึงลักษณะธรณีสัณฐานของรอยเลื่อนต่างๆ ความหมายและทำการตรวจสอบภาคสนาม ได้แผนที่ธรณีสัณฐานวิทยาของรอยเลื่อนแม่ปิงซึ่งรอยเลื่อนแบ่ง ออกเป็น 22 รอยเลื่อนย่อย โดยส่วนใหญ่วางตัวในแนวตะวันตกเฉียงเหนือ-ตะวันออกเฉียงใต้ เป็นรอยเลื่อน ปกติและมีลักษณะเลื่อนไปทางขวา ต่อมา Hongjaisee (1999) จึงได้ทำการศึกษาในส่วนการประเมินภัยจากการ

เกิดแผ่นดินใหว โดยอาศัยข้อมูลเกี่ยวกับการเกิดแผ่นดินใหวร่วมกับผลการศึกษารอยเลื่อนมีพลัง แสดงใน รูปแบบแผนที่ขอบเขตภัยจากการเกิดแผ่นดินใหว พบว่าที่โอกาสร้อยละ 37 ของการเกิดแผ่นดินใหวรุนแรงเกิน ค่าใดๆ พบว่าค่าความเร่งของการสั่นสะเทือนของพื้นดินบริเวณด้านตะวันตกของประเทศ มีค่าประมาณ 100 แกล โดยเฉพาะในบริเวณพื้นที่ชายแดนไทย-เมียนมาร์ มีค่าความเร่งของพื้นดิน 120-150 แกล สำหรับที่โอกาส ร้อยละ 10 ของการเกิดแผ่นดินใหวรุนแรงเกินค่าใดๆ ในช่วงเวลา 100 ปี ค่าความเร่งสูงสุดของพื้นดิน(GPA) ใน พื้นที่จังหวัดแพร่ พะเยา เชียงรายและเชียงใหม่ มีค่าประมาณ 0.08 g จังหวัดแม่ฮ่องสอน ลำพูน ลำปางและน่าน มีค่าประมาณ 0.04 g และพบว่าเขื่อนแม่กวงมีศักยภาพเสี่ยงภัยจากแผ่นดินใหวสูง เขื่อนสิริกิต์มีศักยภาพต่ำ นอกจากนี้ยังรายงานถึงการประเมินอัตราการเลื่อนตัวของรอยเลื่อนแม่จันที่ 0.1-3.7 มิลลิเมตรต่อปี รอยเลื่อนวัง เหนือ ที่ 0.8-3.5 มิลลิเมตรต่อปี รอยเลื่อนเถินกับรอยเลื่อนแพร่ อัตราการเลื่อนตัว 0.01-0.1 มิลลิเมตรต่อปีด้วย

การศึกษารอยเลื่อนทางภาคตะวันตกของประเทศไทย Won-in (1999) ทำการศึกษารอยเลื่อนเจดีย์สาม องค์ พบว่ารอยเลื่อนนี้มีลักษณะการเลื่อนตามแนวเฉียง มีความยาวรวม 222 กิโลเมตร มีแนวรอยเลื่อนจากทาง ตะวันออกเฉียงใต้ของประเทศเมียนมาร์ทอดยาวเข้ามาในประเทศไทยทางทิศตะวันตกไปสู่ภาคกลางของ ประเทศ หลักฐานจากธรณีสัณฐานวิทยาบ่งชี้ว่ารอยเลื่อนเจดีย์สามองค์เป็นรอยเลื่อนที่มีการเลื่อนตัวมาไม่นาน คือ ลำธารหักงอ, ผารอยเลื่อน, สันปิดกั้น, สันแนวยาวและลำธารแย่งน้ำ ซึ่งสามารถแบ่งออกเป็น 5 รอยเลื่อน ย่อย ได้แก่ รอยเลื่อนย่อยสังขละบุรี, รอยเลื่อนกาญจนบุรี, รอยเลื่อนทองภาภูมิ, รอยเลื่อนแม่น้ำน้อย, และรอย เลื่อนแควใหญ่ เมื่อนำเอาผงรอยเลื่อนและตะกอนพัดพาที่เกี่ยวข้องกับรอยเลื่อนไปหาอายุ พบว่ามีความสัมพันธ์ กับการเลื่อนตัวทั้งหมดอย่างน้อย 5 ครั้งด้วยกัน ได้แก่อายุในช่วง 1 -0.97 ล้านปี, 0.58-0.46 ล้านปี, 0.18 ล้านปี, 0.14-0.145 ล้านปี และ 0.02 ล้านปี

ในปี 2543 ปัญญา จารุศิริ และคณะ ได้ทำการศึกษาแผ่นดินใหวในประเทศไทย และพื้นแผ่นดินเอเชีย ตะวันออกเฉียงใต้ โดยมีวัตถุประสงค์หลักเพื่อทำการศึกษาธรณีแปรสัณฐานของประเทศไทยและข้างเคียง เพื่อ หาความสัมพันธ์ระหว่างแผ่นดินใหวกับธรณีวิทยาโครงสร้าง และทำการตรวจสอบโครงสร้างลักษณะใดที่มี ความโน้มเอียงที่จะเกิดแผ่นดินไหว โดยมุ่งเน้นถึงสาเหตุของการเกิดแผ่นดินไหว โดยอาศัยข้อมูลโทรสัมผัส ข้อมูลจากภาคสนาม ข้อมูลจากการหาอายุหินและตะกอนที่ได้จากรอยเลื่อน ซึ่งพบว่าประเทศไทยและพื้น เคยมีแผ่นดินใหวใหญ่น้อยหลายครั้งมาตั้งแต่อดีตจนถึงปัจจบัน แผ่นดินเอเชียตะวันออกเฉียงใต้ แผ่นดินใหวที่เกิดขึ้นมักมีความสัมพันธ์ใกล้ชิดกับรอยเลื่อนมีพลังเท่านั้น จากการศึกษาข้อมูลด้านธรณีสัณฐาน วิทยา ธรณีกาลเวลา ผนวกกับข้อมูลแผ่นดินไหวของรอยเลื่อนต่างๆ ในพื้นที่อื่นของประเทศ สามารถจำแนก รอยเลื่อนมีพลังได้ 15 รอยเลื่อนคือ 1) รอยเลื่อนแม่จัน 2) รอยเลื่อนแม่ทาน 3) รอยเลื่อนเถิน-ลอง-แพร่ 4) รอย เลื่อนน้ำปาค 5) รอยเลื่อนปัว 6) รอยเลื่อนพะเยา 7) รอยเลื่อนแม่ฮ่องสอน 8) รอยเลื่อนศรีสวัสดิ์ 9) รอยเลื่อน แม่ปิง 10) รอยเลื่อนเจดีย์สามองค์ 11) รอยเลื่อนระนอง 12) รอยเลื่อนคลองมะรย-คลองท่อม 13) รอยเลื่อนโคก โพธิ์-สะบ้าย้อย-ยะลา-เบตง 14) รอยเลื่อนเลย-เพชรบรณ์ 15) รอยเลื่อนระยอง-แกลง ส่วนนอกประเทศมีกล่ม รอยเลื่อนที่สำคัญ อีก 4 กลุ่ม ได้แก่ 1) กลุ่มรอยเลื่อนอินโค-พม่า 2) กลุ่มรอยเลื่อนสะเกียง-ตองยี-พานหลวง 3) กลุ่มรอยเลื่อนนานติง-เปาซาน-เชียงราย และ 4) กลุ่มรอยเลื่อนแม่น้ำแดง-แม่น้ำมา-แม่น้ำดา

การศึกษาขั้นรายละเอียดของรอยเลื่อนศรีสวัสดิ์นั้น รัชชัช นัทธี (2544) และ Songmuang (2001) ได้ ทำการศึกษาความปลอดภัยเกี่ยวกับแผ่นดิน ใหวของเขื่อนศรีนครินทร์และเขื่อนเขาแหลมจากรอยเลื่อนศรีสวัสดิ์ พบว่ารอยเลื่อนศรีสวัสดิ์นี้พาดผ่านจากด้านตะวันออกเฉียงใต้ของประเทศเมียนมาร์เข้ายังภาคตะวันตกของไทย มีทิศทางการวางตัวในแนวตะวันตกเฉียงเหนือก่อนไปทางทิศเหนือ และเป็นรอยเลื่อนตามแนวเฉียง ผล การศึกษาพบว่ารอยเลื่อนศรีสวัสดิ์ส่วนใต้ มีการเลลื่อนตัวในแนวระดับแบบย้อยกลับ มีระยะการเลื่อนตัวใน แนวระดับประมาณ 125 เมตร มีการเลื่อนตัวอย่างน้อย 4 ครั้งในอดีตที่ผ่านมา อัตราการเคลื่อนตัวมีค่าเท่ากับ 2.865 มิลลิเมตรต่อปี เมื่อนำค่ารอยแตกบนพื้นผิวพบว่ามีโอกาสเกิดแผ่นดินไหวสูงสุดได้ 6.3 ริกเตอร์ ในพื้นที่ เดียวกันนี้ Danphaiboonphon (2001) ยังได้นำเอาเครื่องมือสำรวจธรณีฟิกส์คือ Resistivity survey, Magnetic survey และ VLF-EM เข้ามาหาแนวของรอยเลื่อน ผลการศึกษาพบว่าบริเวณที่เป็นแนวของรอยเลื่อนจะแสดงค่า high resistivity lower magnetic และแนวของรอยเลื่อนหลักวางตัวในแนวตะวันตกเฉียงเหนือ-ตะวันออกเฉียงใต้ แนวของรอยเลื่อนรองวางตัวในแนวเดียวกันแต่เอียงเทไปทางทิศ ตะวันออกเฉียงเหนือที่ยังมีการเลื่อนตัวอยู่

บริเวณจังหวัดแพร่นั้น Udchachon (2002) ได้การศึกษาธรณีสัณฐานใหม่ของส่วนตะวันออกเฉียงใต้ ของรอยเลื่อนแพร่ พบว่ารอยเลื่อนตะวันตกเฉียงใต้ของระบบรอยเลื่อนแพร่ เป็นรอยเลื่อนที่มีศักยภาพการเลื่อน ตัวปรากฏตรงบริเวณขอบด้านตะวันออกเฉียงใต้ของแอ่งแพร่ มีความยาวประมาณ 20 กิโลเมตร หลักฐานการ แปรสัณฐานตามแนวรอยเลื่อนที่ปรากฏได้แก่ สันปิดกั้น ผาสามเหลี่ยมและลำธารหักมุม เมื่อผนวกข้อมูลการหา อายุตะกอน ข้อมูลการศึกษากลไกแผ่นดินไหว เข้าด้วยกัน พบว่าส่วนรอยเลื่อนนี้มีการเลื่อนตัวแบบซ้ายเข้า ประกอบกับแบบปกติด้วยอัตราการเลื่อนตัวสูงสุด 0.06 มิลลิเมตรต่อปี และแผ่นดินไหวในอดีตพบว่าพื้นที่นี้เคย เกิดแผ่นดินไหวขนาดใหญ่(ประมาณ 7 ริกเตอร์) ส่วนในพื้นที่จังหวัดเชียงใหม่นั้น Brady Rhodes และคณะ (2002) ได้ทำการศึกษารอยเลื่อนแม่กวง พบลักษณะธรณีสัณฐานที่สำคัญคือ สันเขาปิดกั้นทางน้ำหักงอ สัน เขาปิดกั้น แสดงลักษณะการเลื่อนทางซ้าย (left-lateral movement) อัตราการเลื่อนของรอยเลื่อนแม่กวงอยู่ที่ 0.175-0.7 มิลลิเมตรต่อปี

### 1.2 วัตถุประสงค์ของโครงการ

ในการศึกษาในปีแรกนี้ได้เน้นหนักเฉพาะกลุ่มรอยเลื่อนในเขตจังหวัดลำปาง-แพร่ (รูป 1.1) โดยมี วัตถุประสงค์เพื่อ

- 1.ทราบตำแหน่งและลักษณะของกลุ่มรอยเลื่อนมีพลังในเขตพื้นที่จังหวัดลำปาง-แพร่
- 2.ทราบขนาดของแผ่นดินใหวใหญ่ที่เกิดขึ้นในอดีตจากการเคลื่อนตัวของกลุ่มรอยเลื่อนรอยเลื่อนเถิน และรอยเลื่อนแพร่ และ
  - 3. ทราบอัตราเฉลี่ยของการเคลื่อนตัวของรอยเลื่อนเหล่านี้

### 1.3 พื้นที่ศึกษา

สำหรับพื้นที่ศึกษาในปีแรก คณะผู้วิจัยได้เลือกศึกษาเฉพาะในเขตจังหวัดลำปาง-แพร่ ในภาคเหนือ ของประเทศ รูป 1.2 แสดงขอบเขตพื้นที่ศึกษา

#### 1.4 ระเบียบวิธีและขอบเขตของการวิจัย

- รวบรวมข้อมูลเก่าที่มีอยู่เดิม เพื่อหาแนวทางการวิจัยที่เน้นหนักเรื่องรอยเลื่อนมีพลัง ทั้งจากกรม อุตุนิยมวิทยา และกรมทรัพยากรธรณี โดยเฉพาะตำแหน่งที่ตั้งของรอยเลื่อนและแผ่นดินไหว
- 2. ศึกษาภาพจากดาวเทียม และภาพถ่ายทางอากาศ มาตราส่วน 1:50,000 และ 1:15,000 เพื่อดูลักษณะ การวางตัวของแนวรอยเลื่อน และหลักฐานที่แสดงถึงความใหม่ของรอยเลื่อน และข้อมูลธรณีฟิสิกส์ทางอากาศ เพื่อดูแนวรอยเลื่อนที่ถูกปิดทับด้วยตะกอนดิน
- 3. รวบรวมหลักฐานการเกิดแผ่นดินใหวในอดีต(historical earthquake) ก่อนมีเครื่องตรวจวัด เช่น จาก ตำนาน ศิลาจารึก พงศาวดาร จดหมายเหตุ ทั้งของในประเทศและต่างประเทศ เพื่อสร้างฐานข้อมูลแผ่นดินใหวใน อดีต
- 4. รวบรวมหลักฐานจากข้อ 1,2 และ 3 เพื่อทำแผนที่แสดงการกระจายตัวของรอยเลื่อนมีพลังของ ประเทศ
- 5. สำรวจภาคสนามเพื่อตรวจสอบผลจากการแปลความหมายจากข้อมูลโทรสัมผัสโคยเน้นหนักด้าน การศึกษาสำรวจและรังวัดสภาพภูมิประเทศ ด้วยกล้องสำรวจ(Theodolite) โดยรอบบริเวณขุดร่องสำรวจ (Trenching) อันเป็นผลจากการเกิดแผ่นดินใหวในมาตราส่วน 1:1,000
- 6. สำรวจและจัดทำบันทึกลำดับชั้นตะกอนและแนวรอยเลื่อนในร่องสำรวจ (trench logging) เก็บ ตัวอย่างคินและผงรอยเลื่อนจากร่องสำรวจ



รูป 1.1 แผนที่ประเทศไทยแสดงพื้นที่ศึกษาในเขตพื้นที่ จ.ลำปาง-แพร่(กรอบ A ในปีที่ 1 และ จังหวัดกาญจนบุรี (กรอบ B ในปีที่ 2)

รูป 1.2 แผนที่ทางหลวงแสดงขอบเขตของพื้นที่ศึกษาลำปาง - แพร่และลักษณะภูมิประเทศอย่างง่าย

- 7. ทำการเตรียมตัวอย่าง โดยเฉพาะการแยกแร่ (เช่น แร่ควอตซ์ และแร่แคลไซด์) ให้บริสุทธิ์ เพื่อนำมา หาอายุโดยวิธีเรื่องแสงความร้อน(thermoluminescence dating หรือ TL) นอกจากนั้นถ้าตัวอย่างมีอินทรีย์วัตถุจะ ทำการหาอายุโดยวิธี C-14 ซึ่งต้องนำส่งวิเคราะห์ต่างประเทศ (ที่อเมริกาหรือญี่ปุ่น โดยการช่วยเหลือและแนะนำ ของ Dr. Brady Rhodes และ Prof. Isao Takashima)
- 8. นำตัวอย่างที่แยกแร่แล้วไปวัดหาอายุด้วยเครื่องมือเรืองแสงความร้อน(thermoluminescence)ที่ จุฬาลงกรณ์มหาวิทยาลัย
- 9. จัดทำแผนที่แสดงตำแหน่งของรอยเลื่อนมีพลังในมาตราส่วน 1:50,000 และระบุค่าของแผ่นดินใหว ขนาดใหญ่ในอดีต พร้อมอัตราการเคลื่อนตัวของรอยเลื่อน

### 1.5 แผนการดำเนินงานตลอดโครงการ (ในปีแรก)

ปีที่ 1 (กลุ่มรอยเลื่อนลำปาง-แพร่, จังหวัดลำปาง-แพร่)

กิจกรรม	1	2	3	4	5	6	7	8	9	10	11	12
1. รวบรวมข้อมูลเก่า												
- ด้านธรณีวิทยาแผ่นดินใหว												
-ด้านข้อมูลศูนย์กลางแผ่นดินใหว												
2.แปลภาพถ่ายคาวเทียมและ												
ภาพถ่ายทางอากาศ และจัดทำแผน												
ที่ธรณีวิทยาสัณฐานที่เกี่ยวเนื่องกับ												
รอยเลื่อนมีพลัง												
3. สำรวจภาคสนาม												
-ตรวจสอบผลการแปลข้อมูลโทร				1								
สัมผัส												
- ทำการรังวัดแผนที่ภูมิประเทศ				_								
รายละเอียคบริเวณขุคร่องสำรวจ												
-ขุดร่องสำรวจและเก็บตัวอย่างดิน							ı					
4.เศรียมตัวอย่างโคยแยกแร่ให้												
บริสุทธิ์												
5.วัดหาอายุชั้นดินด้วยวิธีเรื่องแสง												
ความร้อนและวิธี C-14												
6. จัดทำรายงานฉบับสมบูรณ์									-			

สำนักงานกองทุนสนับสนุนการวิจัย

# 1.6 ประโยชน์ที่คาดว่าจะได้รับ

ผลลัพธ์ที่ได้รับจากการศึกษาวิจัย ทำให้ทราบว่าได้เคยเกิดแผ่นดินไหวใหญ่ในอดีตหรือไม่ และถ้าเคย เกิดจริง ก็สามารถบอกตำแหน่งที่เคยเกิดได้ค่อนข้างแน่นอน ตลอดจนสามารถบอกอัตราการเคลื่อนตัวของ กลุ่มรอยเลื่อนลำปาง-แพร่ (หรือเถิน-แพร่)ได้ ซึ่งเป็นข้อมูลพื้นฐานในการออกแบบฐานรากอาคาร หรือสิ่งปลูก สร้างขนาดใหญ่ เช่น เขื่อนกั้นน้ำเพื่อต้านแรงสั่นจากแผ่นดินไหว พร้อมทั้งยังได้แผนที่สำคัญในการกำหนด พื้นที่เสี่ยงอันตรายต่อแผ่นดินไหวของภาคตะวันตกและบางส่วนของภาคเหนือของประเทศไทย

การศึกษาครั้งนี้นับว่าเป็นประโยชน์สำคัญต่อกรมทรัพยากรธรณีซึ่งเป็นหน่วยงานวิจัยถึงแหล่งต้น กำเนิดของแผ่นดินใหวอันเกี่ยวเนื่องกับรอยเลื่อนมีพลัง และทำให้มหาวิทยาลัยเป็นศูนย์กลางของการเรียนด้าน ธรณีวิทยาแผ่นดินใหวของนิสิต นักศึกษา สามารถนำข้อมูลไปใช้ประโยชน์ทั้งต่อการเรียนและการวิจัยได้เป็น อย่างคือันเป็นการเตรียมความพร้อมไปสู่ความเป็นเลิศทางค้านธรณีวิทยาแผ่นดินใหวและการแปรสัณฐานของ ประเทศสืบไป

### บทที่ 2

# การวิเคราะห์แนวรอยเลื่อนมีพลังด้วยภาพจากดาวเทียม

#### 2.1 บทน้ำ

ลักษณะแนวเส้น(lineament pattern) ที่คาดว่าเกิดจากแนวรอยเลื่อนสามารถวิเคราะห์ได้จากข้อมูลรี โมทเซน ซึ่ง(remote-sensing)หรือโทรสัมผัสนี้โดยเฉพาะภาพจากดาวเทียมและภาพถ่ายทางอากาศ โดยภาพจากดาวเทียมให้ข้อมูลที่แสดงโครงสร้างในภาพรวมของแนวเส้นที่พบในพื้นที่เป็นบริเวณกว้าง ในการแปลผลครั้งนี้ได้มีข้อ ควรระวังในการแปลแนวเส้นที่เกิดจากแนวรอยเลื่อน คือ ได้พิจารณาลักษณะแนวเส้นที่นอกเหนือจากแนวรอยเลื่อนที่อาจจะปรากฏให้เห็นในภาพได้ อาทิ แนวการวางตัวของชั้นหิน(bedding trace) และสิ่งที่มนุษย์สร้างขึ้น เช่น ถนน อ่างเก็บน้ำ แนวสายไฟฟ้าแรงสูง เป็นต้น ซึ่งลักษณะแนวเส้นที่ไม่ได้เกิดจากแนวรอยเลื่อนดังกล่าว บางครั้งอาจมองเห็นเป็นแนวรอยเลื่อนได้ นอกจากนี้การวิเคราะห์แนวเส้นที่คาดว่าจะเป็นแนวรอยเลื่อนใหม่ หรือไม่ จำเป็นต้องพิจารณาถึงธรณีสัณฐานของพื้นผิวโลกที่ปรากฏให้เห็นด้วย เช่น ชนิดของธรณีทัศน์ (landforms) รูปแบบทางน้ำ(drainage pattern) ความต่างระดับของพื้นที่(relief) ลักษณะพืชพรรณ(vegetation) และลักษณะทางธรณีวิทยา เช่น ชนิดหิน(rock type) และโครงสร้างหิน(rock structure) เป็นต้น

## 2.2 วัตถุประสงค์

เพื่อ

- 1. ศึกษาทิศทางแนวแรงของรอยเลื่อนมีพลัง (active fault) จากข้อมูลโทรสัมผัส โดยเฉพาะภาพจาก ดาวเทียม
- 2. ประเมินพื้นที่ศักยภาพของแนวรอยเลื่อนมีพลังจากการวิเคราะห์ภาพจากคาวเทียม

## 2.3 ข้อมูล

ภาพถ่ายจากดาวเทียม LANDSAT TM 5 Band 4 5 และ 7 มาตราส่วน 1:100,000 ถ่ายเมื่อวันที่ 8 กันยายน พ.ศ. 2541 ของพื้นที่บริเวณอำเภอแม่ทาน อำเภอเถิน และอำเภอสบปราบ โดยมุ่งเน้นพื้นที่แนวรอยเลื่อนเถิน (Thoen Fault) ในจังหวัดลำปาง และวันที่ 10 กุมภาพันธ์ พ.ศ. 2534 สำหรับรอยเลื่อนในจังหวัดแพร่

### 2.4 ขั้นตอนการวิเคราะห์

1. แปลลักษณะแนวเส้นที่คาคว่าจะเป็นแนวรอยเลื่อนหรือแนวเส้นโครงสร้าง (lineament) ด้วยสายตา จากภาพดาวเทียม

สำนักงานกองทุนสนับสนุนการวิจัย

- 2. วัดทิศทางแนวการวางตัว(strike) ของแนวเส้นที่ปรากฏจากภาพดาวเทียมพร้อมกับคำนวณหาความ ยาวของแนวเส้น
- 3. วิเคราะห์แนวการวางตัวของแนวเส้นโดยแสดงค่าด้วยโปรแกรม DIP
- 4. สร้างแบบจำลองแสดงผลจากการแปลภาพดาวเทียมที่บ่งบอกความสัมพันธ์ระหว่างรอยเลื่อนและ ลักษณะธรณีสัณฐาน เช่น ทางน้ำ หรือตะกอน
- 5. สร้างแบบจำลองแสดงภาพตัดขวางในพื้นที่ที่คาดว่าจะมีรอยเลื่อนมีพลัง

#### 2.5 ผลการศึกษาแนวเส้นโครงสร้าง

ในส่วนนี้ได้ทำการวิเคราะห์แนวการวางตัวของแนวกลุ่มรอยเลื่อนลำปางหรือในที่นี้เรียกรอยเลื่อนเถิน (Thoen Fault)เป็นหลัก โดยได้ทำการแปลภาพดาวเทียมในมาตราส่วน 1: 100,000 ประกอบกับข้อมูลรายงานการ สำรวจแผนที่ธรณีวิทยาโดยกรมทรัพยากรธรณี ข้อมูลการสำรวจกลื่นไหวสะเทือน(Udchachon, 2002) และได้ พบว่าในพื้นที่ศึกษาและพื้นที่ใกล้เคียงมีแนวการวางตัวของรอยเลื่อนขนาดใหญ่ในทิศทางเดียวกัน (รูป 2.1ก, 2.1ข และ 2.1ก) โดยเฉพาะรอยเลื่อนเถินมีการวางตัวโดยประมาณในแนวตะวันออกเฉียงเหนือ-ตะวันตกเฉียงใต้ ซึ่งจากการศึกษาเก่าที่ผ่านมา เช่น Fenton และคณะ (1997) ได้แบ่งแนวรอยเลื่อนเดินออกเป็นหลายแนวย่อย อย่างไรก็ตาม ในรายงานฉบับนี้ได้มุ่งเน้นที่แนวรอยเลื่อนย่อย 4 แนว คือ แนวรอยเลื่อนย่อยเฉิน (Thoen segment) (รูป 2.2) แนวรอยเลื่อนย่อยสบปราบ (Sop Prab segment) (รูป 2.4) แนวรอยเลื่อนย่อยต้นงุ้น (Ton Ngoun segment) (รูป 2.6) และแนวรอยเลื่อนย่อยบ้านมาย (Ban Mai segment) (รูป 2.8) ซึ่งทั้ง 4 แนวเป็นแนวรอยเลื่อนย่อยที่ทางโครงการได้ให้ความสนใจเป็นพิเศษอยู่ ส่วนแนวรอยเลื่อนย่อยอื่นๆ เช่น แนวรอยเลื่อนย่อยแม่ปวน (Mae Puan segment) และแนวรอยเลื่อนย่อยที่อยู่ทางด้านตะวันออกของแนวรอยเลื่อนเดินจะได้ทำการศึกษาในรายละเอียด ต่อไปในอนาคต

จากการวิเคราะห์และแปลผลจากภาพดาวเทียม และนำผลที่ได้จากการวัดทิศทางของแนวเส้น (lineaments) จำนวน 785 แนวใน 4 แนวรอยเลื่อนย่อยนี้พบว่ารอยเลื่อนทั้งหมดรวมความยาวได้มากกว่า 785 กิโลเมตร มาแสดงผลในกราฟเพื่อแสดงทิศทางแนวการวางตัวของแนวรอยเลื่อน โดยแบ่งการวิเคราะห์ทิศทาง แนวแรงโดยละเอียดตามพื้นที่ย่อยในแต่ละรอยเลื่อนย่อยได้ดังนี้

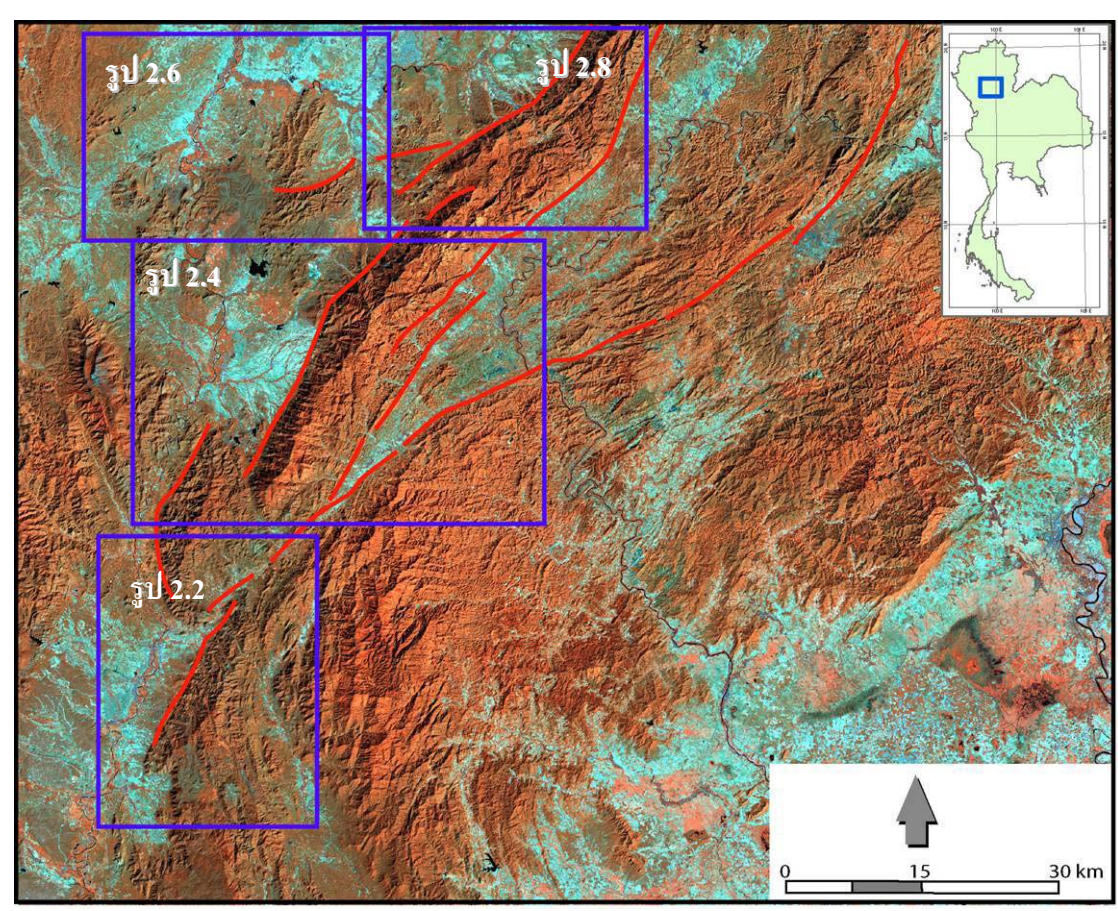
แนวรอยเลื่อนย่อยเถิน (Thoen segment) ได้ทิศทางหลักของแนวเส้น 2 แนว ที่ 35 และ 165 องศาจาก ทิศเหนือ และแนวทิศทางรองลงมาในทิศทาง 5 และ 65 องศา (รูป 2.3)

แนวรอยเลื่อนย่อยสบปราบ (Sop Prab segment) ได้ทิศทางหลักของแนวเส้นคือ ที่ 35 องศาจากทิศ เหนือ และทิศทางรองลงมาที่ 70 และ 100 องศา (รูป 2.5)

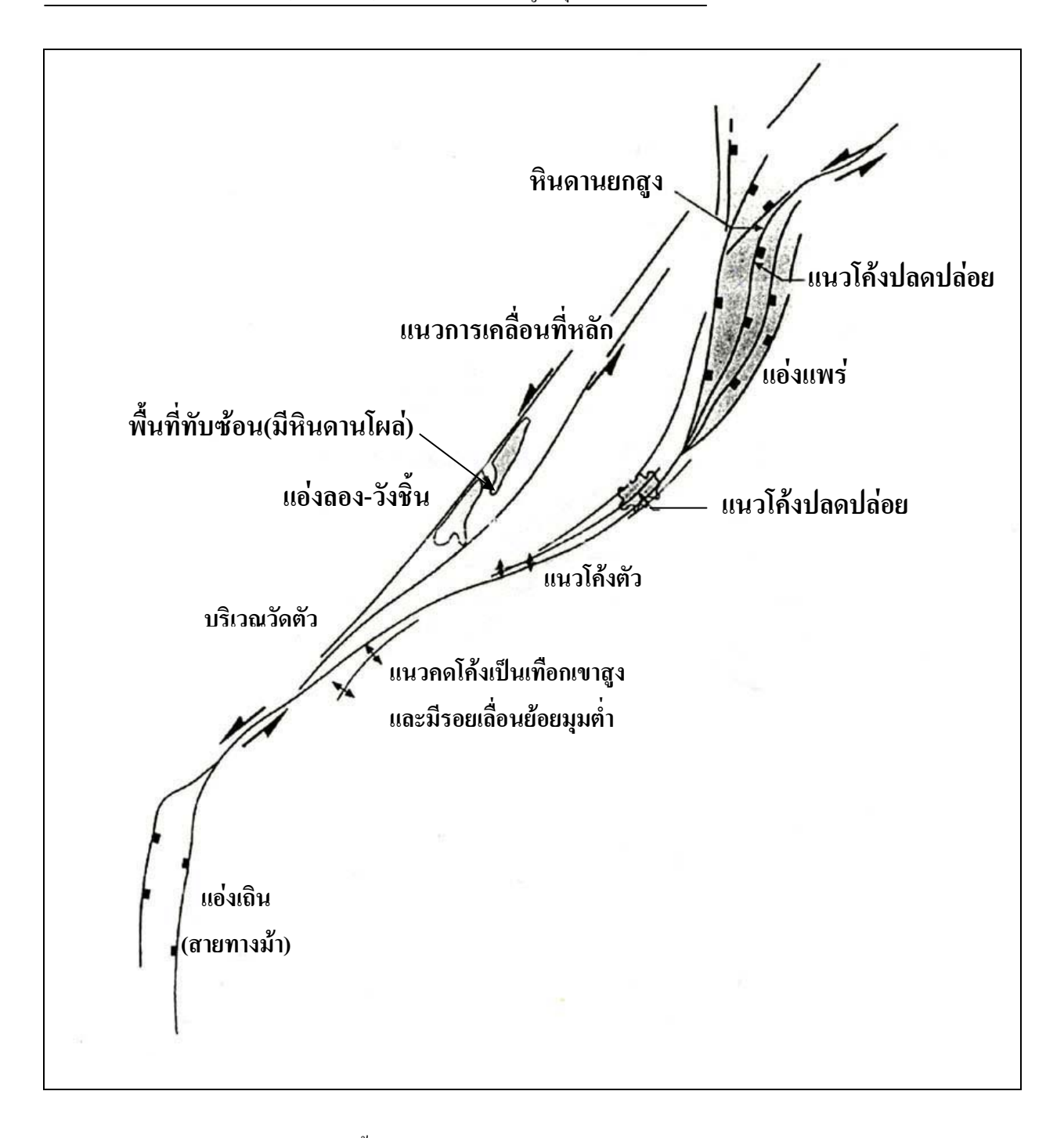
แนวรอยเลื่อนย่อยดอยต้นงุ้น (Ton Ngon segment) ได้ทิศทางหลักของแนวเส้นที่ 25 องศาจากทิศเหนือ และทิศทางรองลงมาที่ 50 45 และ 55 องศา (รูป 2.7)

แนวรอยเลื่อนย่อยบ้านมาย (Ban Mai segment) ได้ทิศทางหลักของแนวเส้นที่ 15 องศาจากทิศเหนือ และทิศทางรองลงมาที่ 55 และ 45 องศา (รูป 2.9) จากการสังเกตในเบื้องต้นพบว่า แนวรอยเลื่อนย่อยเหล่านี้บางแนวที่ได้พาดผ่านชั้นตะกอนยุคควอเทอร์ นารี ดังเห็นได้ชัดเจนในพื้นที่แนวรอยเลื่อนย่อยแม่ทาน และแนวรอยเลื่อนย่อยดอยต้นงุ้น (ดังแสดงในวงกลม รูป 2.2, 2.4 และ 2.8) ซึ่งจากแนวการพาดผ่านชั้นตะกอนยุคใหม่นี้เองทำให้สันนิษฐานได้ในเบื้องต้นว่า รอยเลื่อน ย่อยเหล่านี้อาจมีอายุค่อนข้างใหม่ คือมีอายุแก่กว่าตะกอนยุคควอเทอร์นารีนั่นเอง เมื่อพิจารณาธรณีสัณฐานและ แบบรูปทางน้ำในบริเวณที่แนวรอยเลื่อนตัดผ่านตะกอนยุคใหม่นี้ทำให้ทราบว่า ในพื้นที่ดังกล่าวมีสภาพธรณี สัณฐานที่สัมพันธ์กับแนวรอยเลื่อนอยู่ด้วย เช่น หน้าผาสามเหลี่ยม(triangular facet), ทางน้ำหักงอ(offset stream) และการทิศทางของทางน้ำที่ค่อนข้างตรง ซึ่งจากหลักฐานทางธรณีสัณฐานที่พบดังกล่าว สามารถนำมา สร้างแบบจำลองแสดงความสัมพันธ์ระหว่างธรณีสัณฐานกับการเกิดแนวรอยเลื่อนได้ และแบบจำลองแสดง ภาพตัดขวางของพื้นที่ได้ (รูป 2.10)

สำนักงานกองทุนสนับสนุนการวิจัย

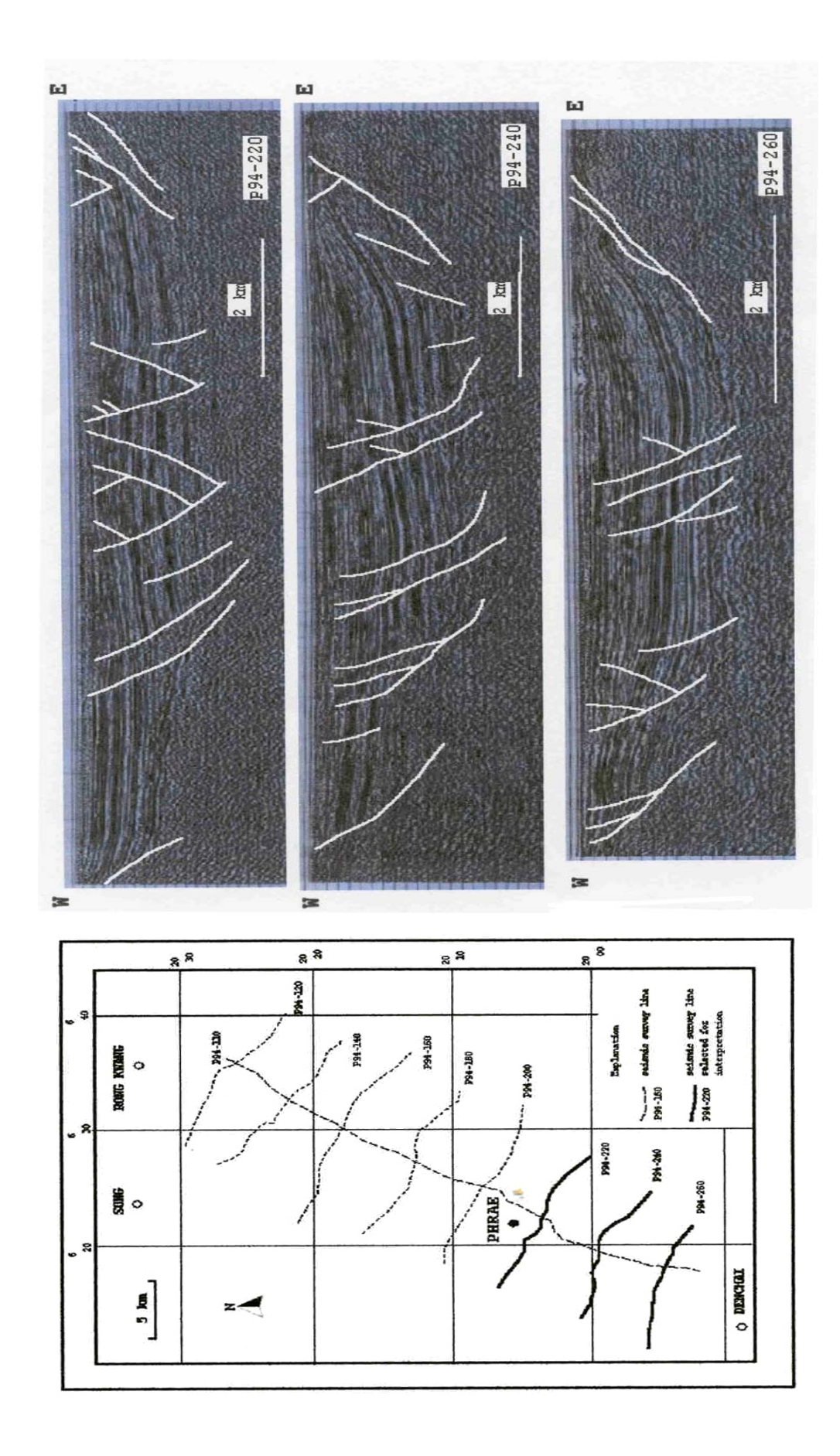


รูป 2.1 ก ภาพจากดาวเทียม Landsat 5 แสดงพื้นที่ศึกษา แนวรอยเลื่อนหลัก และรอยเลื่อนย่อยในพื้นที่ ศึกษาจังหวัดลำปาง และพื้นที่วิเคราะห์แนวเส้น( lineament) ในรายละเอียด(ในกรอบสี่เหลี่ยม)

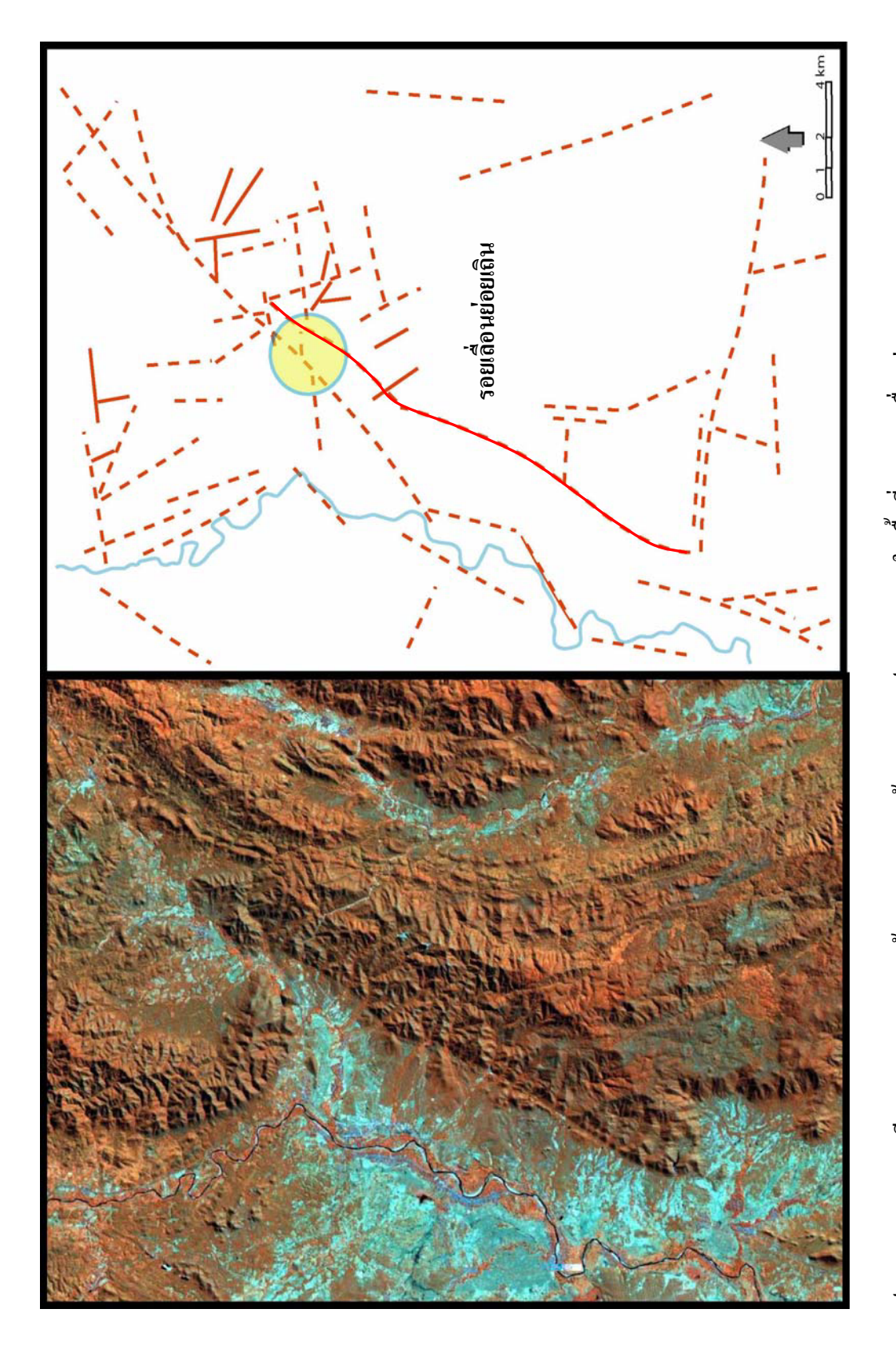


รูป 2.1ข แบบจำลองแอ่งแพร่และพื้นที่ข้างเคียงที่มีความสัมพันธ์กับรอยเลื่อนตามแนวระดับของ กลุ่มรอยเลื่อน เถิน-แพร่(จาก Srisuwan และคณะ, 2000)

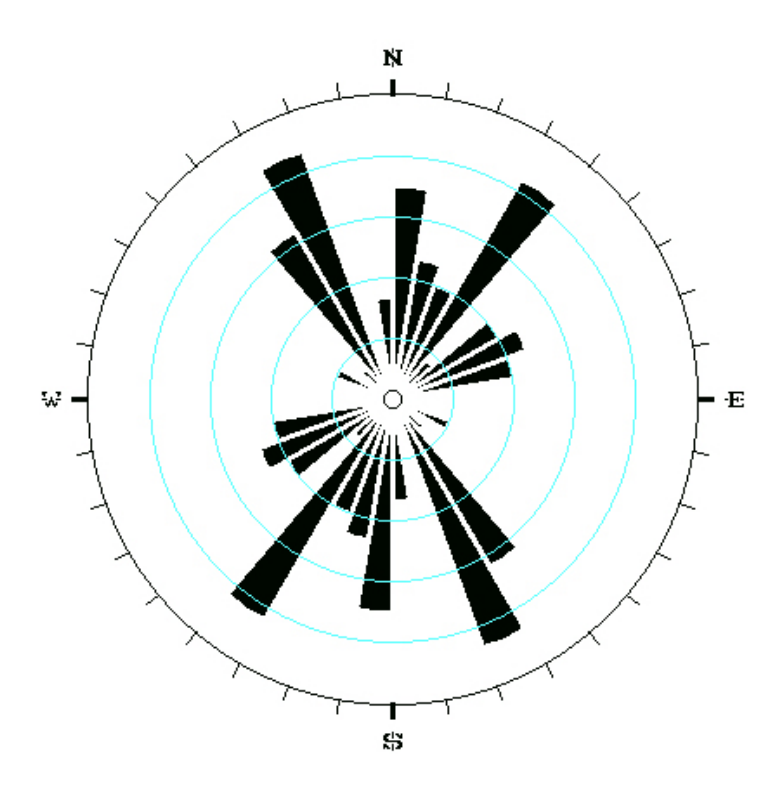
สำนักงานกองทุนสนับสนุนการวิจัย



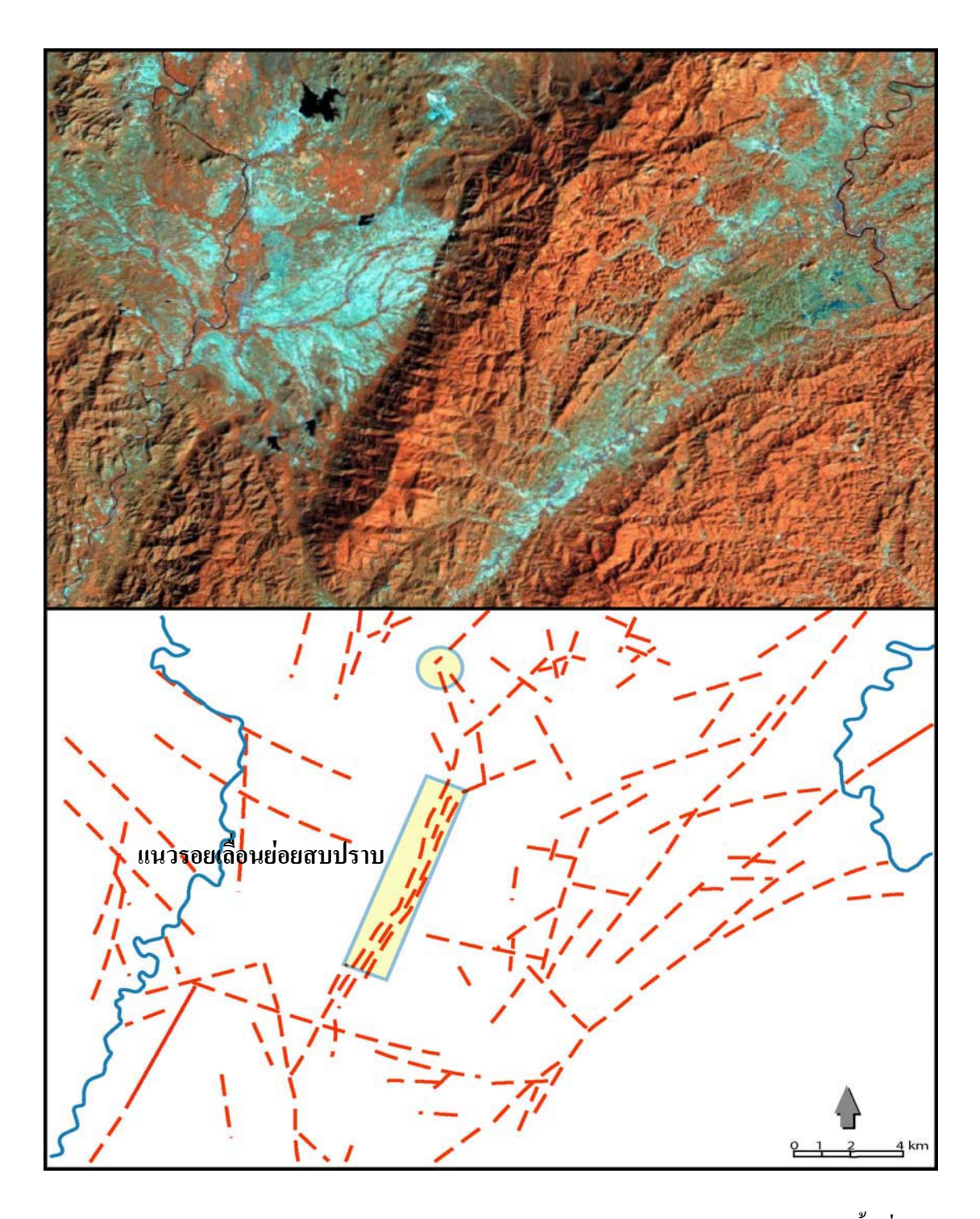
รูป 2.1ค ผลการตีความข้อมูลการสำรวจคลื่นใหวสะเทื่อนจนบริเวณส่วนใต้ของแอ่งแพร่ โคยพบรอยเลื่อนบริเวณขอบแอ่งทั้งสองข้างและมีกลุ่มรอยเลื่อน บริเวณกลางแอ่งปกคลุมโคยตะกอนอายุควอเทอร์นารี



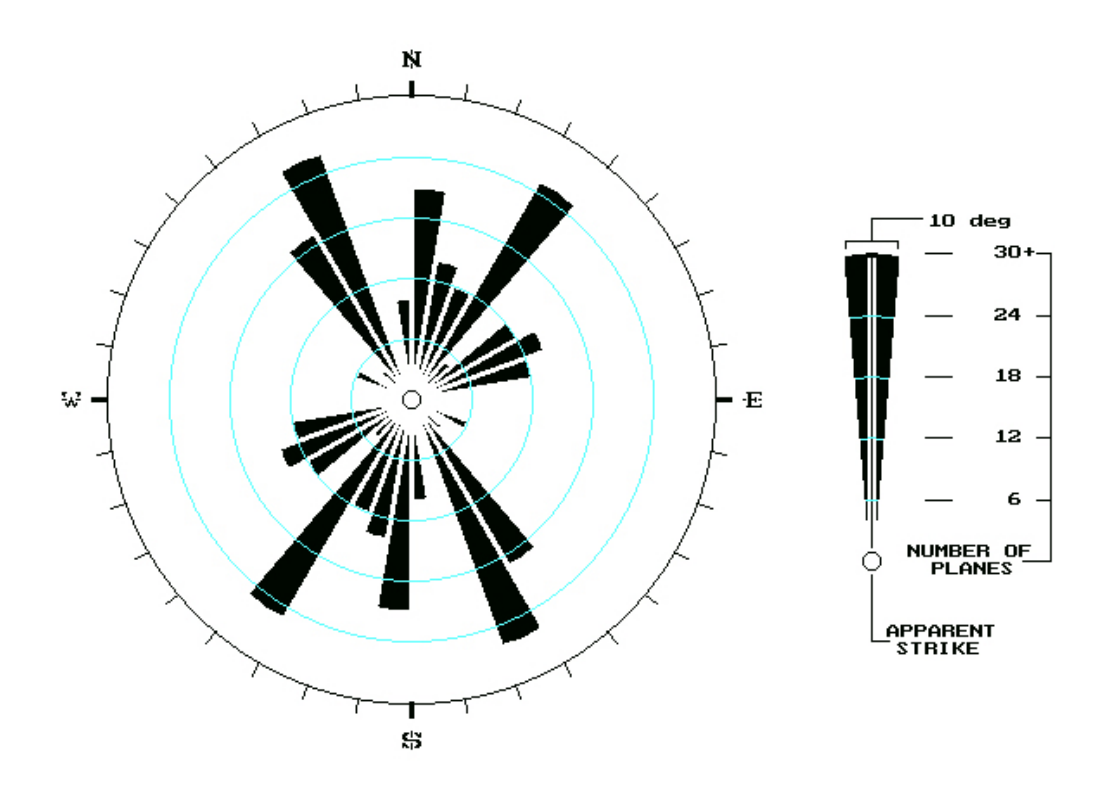
รูป 2.2 ภาพจากดาวเทียม Landsat 5 TM (ซ้าย) แสดงแนวเส้นจากการแปลภาพ (ขวา)ในพื้นที่แนวรอยเลื่อนย่อย เถิน (Theon fault segment) และวงกลม แสดงพื้นที่ศึกษาที่จะเกิดแนวรอยเลื่อนมีพลัง (active fault)



รูป 2.3 Rosette diagram แสดงทิศการวางตัว (strike) ของแนวเส้น ในบริเวณแนวรอยเลื่อนย่อยเถิน (Theon fault segment)



รูป 2.4 ภาพจากดาวเทียม Landsat TM 5 (บน) แสดงแนวเส้นจากการแปลภาพ (ล่าง) ในพื้นที่แนว รอยเลื่อนย่อยสบปราบ (Sop Prab segment) สี่เหลี่ยมและวงกลมแสดงพื้นที่ศึกษาที่อาจเกิด แนวรอยเลื่อนมีพลัง (active fault) ที่ตัดผ่านตะกอนยุคควอร์เทอร์นารี



รูป 2.5 Rosette diagram แสดงทิศการวางตัว (strike) ของแนวเส้นในบริเวณแนวรอย เลื่อนย่อยสบปราบ (Sop Prab fault segment)